

# Grassmann Manifolds Topology ve Geometri

Eylül 2017 TMD Sempozyumu  
Atılım Üniversitesi

- 0) Referanslar
- 1) Tarihçe
- 2) Tanım ve Gauss-Bonnet Teoremi'nin bir kanıtı (hücreli homoloji ve De Rham kohomoloji)
- 3) Schubert hücreleri, Grassmann manifoldlarının homoloji ve kohomoloji
- 4) Young diyagramlarına ve Schubert kalkülüs'e bir giriş
- 5) Grassmann manifoldları üzerinde geometrik yapılar ve düşük boyutlu Grassmann'ın homoloji gruplarının doğal altmanifoldlar ile temsili.

## Referanslar

- 1) Bredon, G.E., Topology and Geometry Springer-Verlag, GTM, 1995.
- 2) Coskun, I., Kodama, Y., On the cohomology of Real Grassmannian manifolds, arXiv:1309.5520v1.
- 3) Çoşkun, İ., Grassmannians: the first example of a moduli space. MIT OpenCourseWare available at <http://ocw.mit.edu/NR/rdonlyres/Mathematics/18-727Spring-2006>
- 4) Fulton, W.: Young tableaux. London Math. Soc. Student Texts 35, Cambridge University Press (1997).
- 5) Hatcher, A.: Algebraic Topology, Cambridge University Press, 2010. (Allen Hatcher sayfaından alınabilir.)
- 6) ledoux Veerle, Matham Simon J.A., Introductory Schubert Calculus, 2010.
- 7) Ozan, Y., Türevlenebilir Manifoldele Girdi, 2016 ODTÜ Yayınevi (ODTÜ Kütüphane)
- 8) Shi J., Zhou J., Characteristic classes on Grassmannians, Turkish J. Math, (2014) 38 p. 492-523.

## 1) Tarihçe

- Hermann Grassmann (1809-1877) (Alman matematikçi)

Daha çok dil bilimci, fizikçi ve yayıncı olarak tanındı. Matematik katkıları belli yaşlarına kadar ilgi çekmedi. Fizik ve dil bilimde kendi adıyla anılan teorileri vardır.

Lineer cebirdeki birçok kavramı ilk defa ortaya atan kişidir.

- Hermann Schubert (1848-1911) (Alman matematikçi)

Bugün Schubert kalkülüs olarak bilinen matematiksel ilk defa ortaya atan kişidir.

- Alfred Young (1873-1940) (İngiliz matematikçi)

Young tablolarını 1900 yılında Cambridge'de bir matematikçi olarak çalışırken ortaya atmıştır.

## 2) Tanım ve Gauss-Bonnet Teoremi

Manifold;  $n \geq 0$  tamsayı olmak üzere  $n$ -boyutlu  $M$  manifoldun aşağıdaki koşulları sağlayan topolojik uzaydır:

- i)  $M$  Hausdorff uzaydır,
- ii)  $M$  sayılabilir bir tabana sahiptir (özellikle sayılabilir)
- iii)  $M$  yerel olarak  $\mathbb{R}^n$ 'e homeomorftür:  
 $M = \bigcup_{\alpha \in \Lambda} U_{\alpha}$ ,  $U_{\alpha} \subseteq M$  açık,  
 $\varphi_{\alpha}: U_{\alpha} \rightarrow V_{\alpha}$ ,  $V_{\alpha} \subseteq \mathbb{R}^n$  açık,

homeomorftürdür.

Ayrıca, eğer her  $\alpha, \beta \in \Lambda$  için

$$\varphi_{\beta} \circ \varphi_{\alpha}^{-1}: \varphi_{\alpha}(U_{\alpha} \cap U_{\beta}) \rightarrow \varphi_{\beta}(U_{\alpha} \cap U_{\beta}) \subset \mathbb{R}^n$$

ise  $(M, \varphi_{\alpha}: U_{\alpha} \rightarrow V_{\alpha}, \alpha \in \Lambda)$  manifolduna türetilenebilir manifold denir.

### Tanım (Grassmann Manifold)

$\mathbb{F} = \mathbb{R}$  veya  $\mathbb{C}$  cismini gösterisin.  $E$   $\mathbb{F}$ -cismi üzerinde  $n$ -boyutlu bir vektor uzayı ve  $k$ ,  $1 \leq k \leq n-1$  koşulum sağlayan bir tamsayı olsun. Bu durumda  $G_{\mathbb{F}}(n, k)$  Grassmann manifoldu  $E$  vektor uzayının tüm  $k$ -boyutlu altuzaylarının kümesi olarak tanımlanır.

$$G_{\mathbb{C}}(n, k), G_{\mathbb{R}}(n, k), G_{\mathbb{R}}^{+}(n, k)$$

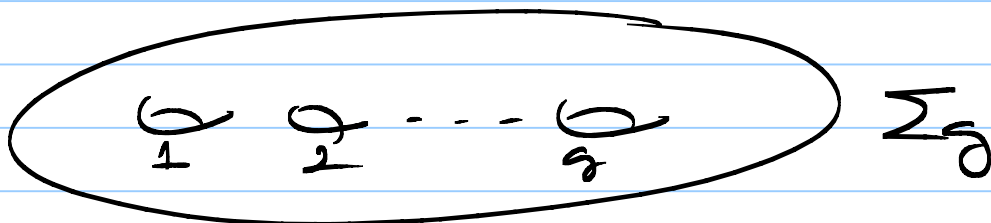
$G_{\mathbb{R}}^+(n, k)$  ise yönlendirilmiş  $k$ -boyutlu altuzayların kümesini göstermektedir.

Örnekler:  $G_{\mathbb{R}}^+(n, 1) = S^{n-1}$ ,  $G_{\mathbb{R}}(n, 1) = S^{n-1} / \mathbb{Z}_2 = \mathbb{R}P^{n-1}$

Gauss-Bonnet Teoremi:  $\Sigma_g \subseteq \mathbb{R}^3$  tıkkız,

bağlantılı ve sınırı olmayan (dolayısıyla yönlendirilebilir) türevlenebilir bir yüzey olsun.  $\chi$  yüzey üzerindeki Gauss eğrülüğünü göstermek üzere

$$\int_{\Sigma_g} \chi \, dS = 2\pi \chi(\Sigma_g) = 4\pi(1-g) \text{ olur.}$$



Kanıtın ana hatları: 1)  $\Sigma = \Sigma_g \subseteq \mathbb{R}^3$  yerel olarak

bir  $f: U \rightarrow \mathbb{R}$ ,  $U \subseteq \mathbb{R}^2$  fonksiyonunun grafiği olsun:

$$\Sigma \cong \{(x, y, f(x, y)) \mid (x, y) \in U\}.$$

Bu durumda yüzey üzerindeki Gauss eğrülüğü

$$\chi = \frac{f_{xx}f_{yy} - f_{xy}^2}{(1 + f_x^2 + f_y^2)^2} \text{ ile verilir.}$$

$\sum_{U_1}$ 

$$\sigma: U \rightarrow G_{\mathbb{R}}^+(3, 1) = S^2 \subseteq \mathbb{R}^3 \setminus \{(0, 0, 0)\}$$

$$\sigma(x, y) = \frac{(f_x, f_y, -1)}{\sqrt{1+f_x^2+f_y^2}} \quad \text{Gauss gönderimi ve}$$

$$\omega = x dy \wedge dz + y dz \wedge dx + z dx \wedge dy \in \Omega^2(S^2)$$

olmak üzere

$$\begin{aligned} \sigma^*(\omega) &= \frac{f_{xx}f_{yy} - f_{xy}^2}{(1+f_x^2+f_y^2)^2} (\sqrt{1+f_x^2+f_y^2} dx \wedge dy) \\ &= K dS \quad \text{olur.} \end{aligned}$$

$dS$ : yüzey üzerindeki alan formudur.

$$0 \text{ halde, } \int_{\Sigma_g} K dS = \int_{\Sigma_g} \sigma^*(\omega) \text{ integralini}$$

hesaplamalıyız. Bunun için Grassmann manifold  $G_{\mathbb{R}}^+(3, 1) = S^2$ 'nin De Rham kohomolojüsünü kullanacağız:

De Rham Kohomolojisi:  $M$  türevlenebilir manifold

De Rham Kompleksi:  $\Omega^k(M)$   $M$  üzerinde tanımlı türevlenebilir  $k$ -formların vektör uzayı olsun.

$$\Omega^0(M) \xrightarrow{d} \Omega^1(M) \xrightarrow{d} \dots \rightarrow \Omega^k(M) \xrightarrow{d} \Omega^{k+1}(M)$$

$$\rightarrow \dots \rightarrow \Omega^n(M) \rightarrow 0$$

(eğer  $M$ 'nin boyutu  $n$  ise)

$d$ : dış türev operatörünü

$$H_{DR}^k(M) = \frac{\ker(d: \Omega^k(M) \rightarrow \Omega^{k+1}(M))}{\text{Im}(d: \Omega^{k-1}(M) \rightarrow \Omega^k(M))}$$

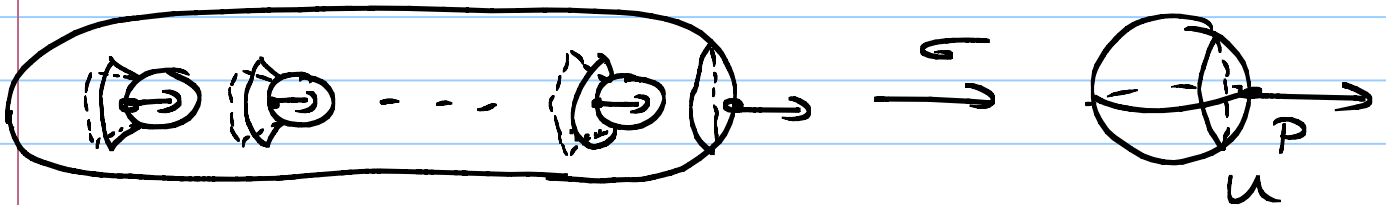
$$= \frac{M \text{ üzerindeki kapalı } k\text{-formlar}}{M \text{ üzerindeki tam } k\text{-formlar}}$$

Ayrıca, eğer  $M$   $n$ -boyutlu tiki ve yönlendirilmiş bir manifold ise

$$H_{DR}^n(M) \xrightarrow{\int} \mathbb{R} \quad \text{bir doğrusal izomorfizmadır.}$$

$$[\omega] \longmapsto \int_M \omega$$

Sonuç:  $H_{DR}^2(S^2) \xrightarrow{\int} \mathbb{R}$



$\omega$  formunun küçük bir  $U$  açık kümesinde sıfırdan farklı olan ve  $\int U = 4\pi$  koşulunu sağlayan  $v$  2-formu  $S^2$  de değiştirebiliriz.

$$\int_{S^2} \omega = 4\pi = \int_{S^2} v \Rightarrow [\omega] = [v] \Rightarrow [\omega - v] = 0$$

$$\Rightarrow \omega - v = d\eta, \eta \in \Omega^1(S^2)$$

$$\int_{\Sigma_0} \sigma^* \omega = \int_{\Sigma_0} \sigma^* (v + d\eta) = \int_{\Sigma_0} \sigma^* v + \int_{\Sigma_0} \sigma^* d\eta = \int_{\Sigma_0} \sigma^* v + \int_{\Sigma_0} d\sigma^* \eta$$

Stokes' Teoremi

$$= \int_{\Sigma_0} \sigma^* \gamma + \int_{\partial \Sigma_g = \phi} \sigma^* \eta = \int_{\Sigma_g} \sigma^* \gamma$$

Şimdi de  $\int_{\Sigma_g} \sigma^* \gamma$  integralini hesaplayalım.

$$\begin{aligned} \int_{\Sigma_g} \sigma^* \gamma &= \int_{\bigcup_{i=1}^{g+1} V_i} \sigma^* \gamma = \sum_{i=1}^{g+1} \int_{V_i} \sigma^* \gamma \\ &= \sum_{i=1}^{g+1} \text{der}(\sigma|_{V_i: V_i \rightarrow U}) \int_U \gamma \\ &= 4\pi (1-g) \end{aligned}$$



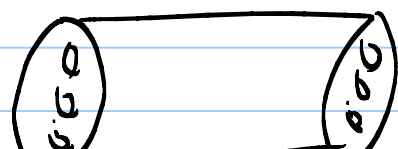
Dolayısıyla, bu özel  $\Sigma_g$  yüzeyi için kanıt tamamlandı mı? oldu.

2)  $\varphi: [0,1] \times \Sigma_g \rightarrow \mathbb{R}^N$  türelenebilir fonksiyon

olsun öyle ki her  $t \in [0,1]$  için

$$\varphi_t: \Sigma_g \rightarrow \mathbb{R}^N, p \mapsto \varphi_t(p) = \varphi(t,p)$$

göstermenin bir daldırma ("immersion") olsun

  $\rightarrow \mathbb{R}^N$  ( $N=7$  için bu mümkün!)  
 ( $\varphi_0: \Sigma_g \rightarrow \mathbb{R}^3 \subseteq \mathbb{R}^N, p \mapsto p$  olmak üzere)



Stokes' Teoremi  $\Rightarrow$

$$\int_{\Sigma_g \times \{1\}} \sigma_1^* \omega - \int_{\Sigma_g \times \{0\}} \sigma_0^* \omega = \int_{\partial(\Sigma_g \times [0,1])} \sigma^* \omega = \int_{\Sigma_g \times [0,1]} d\sigma^* \omega = \int_{\Sigma_g \times [0,1]} \sigma^* d\omega = 0.$$

Fakat  $\sigma_t$  nedir?

$$\varphi_t: \Sigma_g \rightarrow \mathbb{R}^N$$

$$\varphi_0: \Sigma_g \rightarrow \mathbb{R}^3, \quad \sigma_0(p) = \Sigma_g \text{ yüzeyinin } p \text{ noktasındaki normali,}$$

ya da  $\Sigma_g$ 'nin  $p$  noktasındaki teğet düzleminin  $T_p \Sigma_g$ .

Dolayısıyla,

$$\begin{array}{ccc} \sigma_t: \Sigma_g & \longrightarrow & G_{\mathbb{R}}^+(N, 2) \\ p_1 & \longrightarrow & T_{\varphi_t(p)} \varphi_t(\Sigma_g) \end{array}$$

denek tanımlayabılırız.

$$\text{Burada } G_{\mathbb{R}}^+(3, 1) = G_{\mathbb{R}}^+(3, 2) \hookrightarrow G_{\mathbb{R}}^+(N, 2)$$

bir alt manifolddur ve  $S^2 = G_{\mathbb{R}}^+(3, 1)$  üzerindeki  $\omega$  formu  $G_{\mathbb{R}}^+(N, 2)$  manifoldu üzerinde de yazılmaktadır:

$$H_{DR}^2(G_{\mathbb{R}}^+(N, 2)) \rightarrow H_{DR}^2(S^2) \text{ örtendir.}$$

Böylece kanıt tamamlanır.  $\bullet$

Hatırlatma: 1) Grassmann manifoldunun

üzerindeki geometrik ve cebirsel topolojik yapılar etkilü bir şekilde kullanılmıştır.

$G_{\mathbb{R}}^+(3,1) = S^2 \subseteq \mathbb{R}^3$  üzerindeki standard alan formu  $\omega$  için  $\sigma^* \omega = K dS$  olur.

2)  $G_{\mathbb{F}}(n,k)$  üzerindeki topoloji ve manifold yapısından henüz bahsetmedik!  $G_{\mathbb{R}}^+(3,1) = S^2$  için  $S^2$ 'nin manifold yapısını kullandık!

3)  $G_{\mathbb{R}}^+(n,2) = \{ (u,v) \mid u,v \in \mathbb{R}^n, \|u\| = \|v\| = 1, u \perp v \}$

$$(u_1, v_1) \sim (u_2, v_2) \Leftrightarrow \begin{cases} u_2 = \cos \theta u_1 - \sin \theta v_1 \\ v_2 = \sin \theta u_1 + \cos \theta v_1 \end{cases}, \theta \in \mathbb{R}$$

$$= S^{n-1} \times S^{n-1} / \sim$$

Dolayısıyla,  $G_{\mathbb{R}}^+(n,2)$  üzerindeki manifold yapısı bu şekilde görülebilir.

Ayrıca bu gösterimin birer doğal bir gömme fonksiyonu vardır.

$$G_{\mathbb{R}}^+(n,2) \longrightarrow G_{\mathbb{C}}(n,1) = \mathbb{C}P^{n-1}$$

$$[(u,v)] \longmapsto [u+iv]$$

Bu fonksiyonun görüntüsü kuadratik bir hiperyüzezdür!

## Grassmann Manifolds Üzerinde Farklı Yapılar

1) Homogen Manifold olarak Grassmann

$$G_{\mathbb{R}}(n, k) = O(n) / O(k) \times O(n-k) = G_{\mathbb{R}}(n, n-k)$$

$$O(k) \times O(n-k) \longleftrightarrow O(n), (A, B) \mapsto \begin{bmatrix} A & 0 \\ 0 & B \end{bmatrix}$$

$$G_{\mathbb{C}}(n, k) = U(n) / U(k) \times U(n-k) = G_{\mathbb{C}}(n, n-k)$$

$O(n)$  ve  $U(n)$  tikiç olduğu için Grassmann manifoldları da tikiçtir.

$$\begin{aligned} \text{Ayrıca, } \dim_{\mathbb{R}} G_{\mathbb{R}}(n, k) &= \dim O(n) - (\dim O(k) + \dim O(n-k)) \\ &= \frac{n(n-1)}{2} - \frac{k(k-1)}{2} - \frac{(n-k)(n-k-1)}{2} \\ &= \frac{n^2 - n - k^2 + k - n^2 + k^2 + 2nk + n - k}{2} \\ &= nk - k^2 \\ &= k(n-k) \end{aligned}$$

Bentler şeklinde  $\dim_{\mathbb{C}} G_{\mathbb{C}}(n, k) = k(n-k)$  ve

$$\dim_{\mathbb{R}} G_{\mathbb{C}}(n, k) = 2k(n-k).$$

$$\begin{aligned} 2) G_{\mathbb{R}}(n, k) &= \{ P: V \rightarrow V \mid \exists \text{ rank } k \text{ olan dok } \mathbb{R} \text{ dönüşüm} \} \\ &= \{ A \in GL(n) \mid A^2 = A, A^T = A, \text{rank } A = k \}. \end{aligned}$$

Dolayısıyla,  $G_{\mathbb{R}}(n, k)$  gerçel cebirsel bir varyetedir.

## Hücresel Homoloji:

$X = X^0 \cup X^1 \cup \dots \cup X^n$   $X^i = \bigcup_{\alpha} e_{\alpha}^i$  ayırık bölge

$\hat{v}_{\alpha} : e_{\alpha}^i \rightarrow X^i$  karakteristik fonksiyon

$\varphi_{\alpha} = \hat{v}_{\alpha} / \partial e_{\alpha}^i = S_{\alpha}^{i-1} : S_{\alpha}^{i-1} \rightarrow X^{i-1}$  yapıştırma fonksiyonu

$\varphi_{\alpha\beta} : S_{\alpha}^{i-1} \rightarrow X^{i-1} / X^{i-2} = \bigvee_{\beta} S_{\beta}^{i-1} \rightarrow S_{\beta}^{i-1}$

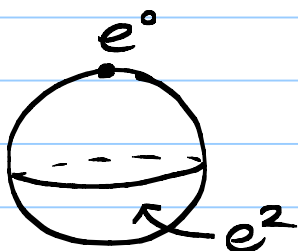
$d_{\alpha\beta} = \text{der } \varphi_{\alpha\beta}$

$C_i(X) = \bigoplus_{\alpha} \mathbb{Z} \langle e_{\alpha}^i \rangle$  serbest abelyen grup

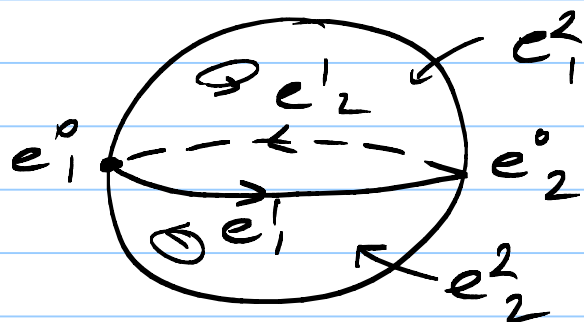
$\partial_i : C_i(X) \rightarrow C_{i-1}(X)$   
 $e_{\alpha}^i \mapsto \sum_{\beta} d_{\alpha\beta} e_{\beta}^{i-1}$

$H_i(X; \mathbb{Z}) = \frac{\ker(\partial_i : C_i(X) \rightarrow C_{i-1}(X))}{\text{Im}(\partial_{i+1} : C_{i+1}(X) \rightarrow C_i(X))}$

Örnek 1)  $G_{\mathbb{R}}^+(3,1) = S^2 = e^0 \cup e^2$  veya  
 $= e_1^0 \cup e_2^0 \cup e_1^1 \cup e_2^1 \cup e_1^2 \cup e_2^2$ .



veya



$$0 \longrightarrow C_2 \xrightarrow{\quad} C_1 \xrightarrow{\quad} C_0 \longrightarrow 0$$

$$\mathbb{Z} \oplus \mathbb{Z} \quad \mathbb{Z} \oplus \mathbb{Z} \quad \mathbb{Z} \oplus \mathbb{Z}$$

$$e_1^2 \longmapsto e_1' + e_2'$$

$$e_2^2 \longmapsto -e_1' - e_2'$$

$$e_1^1 \longmapsto e_2^0 - e_1^0$$

$$e_2^1 \longmapsto e_1^0 - e_2^0$$

vaya

$$0 \longrightarrow C_2(S^2) \xrightarrow{\quad} C_1(S^2) \xrightarrow{\quad} C_0(S^2) \longrightarrow 0$$

$$\mathbb{Z} \quad \quad \mathbb{Z} \quad \quad \mathbb{Z}$$

$$H_2(S^2) = \mathbb{Z}, \quad H_1(S^2) = 0, \quad H_0(S^2) = \mathbb{Z}$$

## "Poincaré Duality"

$M$   $n$ -boyutlu yönlendirilmiş tiki  $\neq$  bir türevlenebilir manifold olsun.

$$D: H_\ell(M) \otimes \mathbb{R} \xrightarrow{\cong} H_{n-\ell}^{\mathbb{R}}(M)$$

$\alpha \in H_\ell(M)$  sınıfının bir  $L \subseteq M$  alt manifoldu tarafından temsil edildiğini kabul edelim. Uygun bir koordinat seçimi ile  $L \subseteq M$   $\mathbb{R}^l$  olarak yerel olarak

$$(L \cap U) \subseteq (M \cap U) \Rightarrow \mathbb{R}^l \times 0 \subseteq \mathbb{R}^l \times \mathbb{R}^{n-l} = \mathbb{R}^n$$

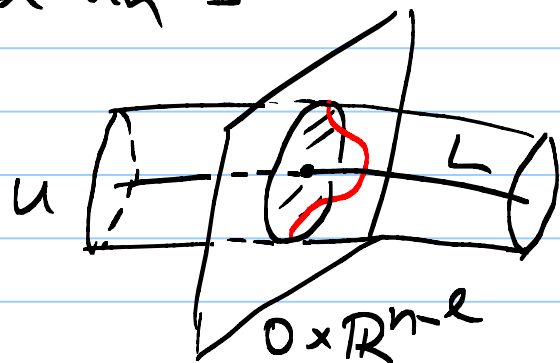
şeklinde gösterilir.

$$L \cap U = \{(x_1, \dots, x_l, 0, \dots, 0) \in \mathbb{R}^n\}$$

$f: U \cong \mathbb{R}^l \times \mathbb{R}^{n-l} \rightarrow \mathbb{R}$  sıfır etrafındaki küçük bir kümenin dışında sıfır değeri alan ve

integrelenir  $\int_{0 \times \mathbb{R}^{n-l}} f \, dx_{l+1} \wedge \dots \wedge dx_n = 1$  olan

$f = f(x_{l+1}, \dots, x_n)$  şeklinde bir fonksiyon olsun.

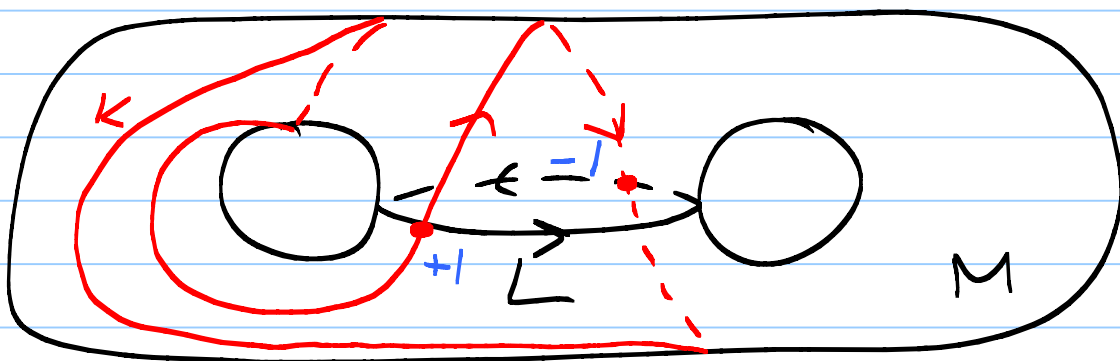


$\omega = f \, dx_{l+1} \wedge \dots \wedge dx_n$  formu tüm  $L$  boyunca tanımlanabilir (bir Riemann metriği seçerek) ve kümenin geneli kapalıdır:

$$\begin{aligned} d\omega &= df \wedge (dx_{l+1} \wedge \dots \wedge dx_n) \\ &= \sum_{i=l+1}^n \frac{\partial f}{\partial x_i} dx_i \wedge dx_{l+1} \wedge \dots \wedge dx_n \\ &= 0 \end{aligned}$$

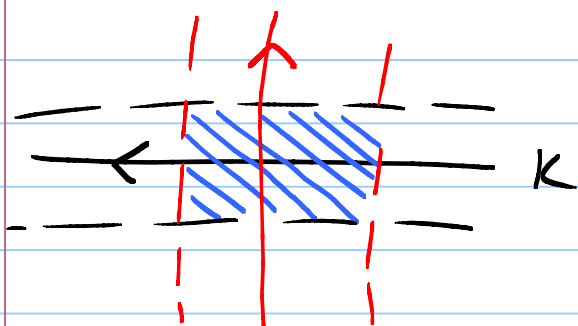
Ben formun temel olduğu kohomoloji sınıfına  $\alpha = [L]$  homoloji sınıfının Poincaré dualı denir:

$$D(\alpha) = [\omega] \in H_{DR}^{n-l}(M).$$



$$0 = \int_K D([L]) = \int_L D([K]) = \int_M D([L]) \wedge D([K])$$

$$K \cdot L = \int_K D([L]) = \int_L D([K]) = \int_M D([L]) \wedge D([K])$$



$$\int_M p_L p_K dx_1 \wedge \dots \wedge dx_{l+1} \wedge \dots \wedge dx_n$$

$$= \int p_L p_K dx_1 \wedge \dots \wedge dx_n$$

(Fubini Teoremi)

$$= \left( \int_K p_L dx_{l+1} \wedge \dots \wedge dx_n \right) \left( \int_L p_K dx_1 \wedge \dots \wedge dx_l \right)$$

$$= (\pm 1) (\pm 1) = \pm 1.$$

# Grassmannlar üzerinde Koordinat Sistemi

$$G(n, k) = \left\{ Y \in \mathbb{F}^{n \times k} \mid \text{rank } Y = k \right\} / \sim, u \in GL(k)$$

$J = \{i_1, \dots, i_k\} \subseteq \{1, 2, \dots, n\}$  farklı endeks ise

$Y_J = \langle e_j \mid j \notin J \rangle$   $(n-k)$ -boyutlu altuzay.

$$U_J = \left\{ Y \in G(n, k) \mid Y \cap Y_J = \{0\} \right\}$$

Dolayısıyla,  $U_J$  sütunları  $i_1, \dots, i_k$  olan altmatrisin nonsingular olan matrislerden oluşur. Bu altmatrisin birim matrise dönüştürülerek her bir  $Y \in G(n, k)$  için tek bir matris gösterimini bulabiliriz.

Örneğin,  $J = \{1, 2, \dots, k\}$  ise

$$U_J = \left\{ Y = \begin{pmatrix} 1 & 0 & \dots & 0 & y_{1,k+1} & \dots & y_{1,n} \\ 0 & 1 & \dots & 0 & y_{2,k+1} & \dots & y_{2,n} \\ \vdots & \vdots & \ddots & \vdots & \vdots & \ddots & \vdots \\ 0 & \dots & 1 & y_{k,k+1} & \dots & y_{k,n} \end{pmatrix} \mid y_{ij} \in \mathbb{R} \right\}$$

Dolayısıyla,  $U_J \cong \mathbb{F}^{k(n-k)} \xrightarrow{\varphi} (y_{ij})$ , bir koordinat sistemi verir.

Örnek:  $G_{\mathbb{F}}(4, 2)$ ,  $Y = \begin{pmatrix} 1 & 0 & -1 & 4 \\ 2 & 3 & 2 & 5 \end{pmatrix}$ , bu matrisin satır uzayı

$$\begin{aligned} \begin{pmatrix} 1 & 0 \\ 2 & 3 \end{pmatrix}^{-1} Y &= \frac{1}{3} \begin{pmatrix} 3 & 0 \\ -2 & 1 \end{pmatrix} \begin{pmatrix} 1 & 0 & -1 & 4 \\ 2 & 3 & 2 & 5 \end{pmatrix} \\ &= \frac{1}{3} \begin{pmatrix} 3 & 0 & -3 & 12 \\ 0 & 3 & 6 & -3 \end{pmatrix} \\ &= \begin{pmatrix} 1 & 0 & -1 & 4 \\ 0 & 1 & 2 & -1 \end{pmatrix} \end{aligned}$$

$$\begin{aligned} \begin{pmatrix} 1 & -1 \\ 2 & 2 \end{pmatrix}^{-1} Y &= \frac{1}{4} \begin{pmatrix} 2 & 1 \\ -2 & 1 \end{pmatrix} Y \\ &= \frac{1}{4} \begin{pmatrix} 4 & 3 & 0 & 13 \\ 0 & 3 & 4 & -3 \end{pmatrix} \end{aligned}$$

$$\mathbb{F}^4 \xrightarrow{\downarrow} \begin{pmatrix} -1 & 4 \\ 2 & -1 \end{pmatrix}$$

$$\varphi_{\{1,3\}} \circ \varphi_{\{1,2\}}^{-1}$$

$$= \begin{pmatrix} 1 & 3/4 & 0 & 13/4 \\ 0 & 3/4 & 1 & -3/4 \end{pmatrix}$$

$$\begin{pmatrix} 3/4 & 13/4 \\ 3/4 & -3/4 \end{pmatrix} \in \mathbb{F}^4$$



$$G_{\mathbb{F}}(4,2) = U_{\{1,2\}} \cup U_{\{1,3\}} \cup U_{\{1,4\}} \cup U_{\{2,3\}} \cup U_{\{2,4\}} \cup U_{\{3,4\}}$$

Örnek  $G_{\mathbb{R}}(n,1) = \mathbb{R}P^{n-1}$  veya  $G_{\mathbb{C}}(n,1) = \mathbb{C}P^{n-1}$ .

$$\begin{array}{ccc} \varphi_i: [x_1 \ x_2 \ \dots \ x_n] & & \varphi_j \\ \swarrow & & \searrow \\ [x_1/x_i \ x_2/x_i \ \dots \ x_n/x_i] & & [x_1/x_j \ x_2/x_j \ \dots \ x_n/x_j] \\ \downarrow & \varphi_j = \varphi_i^{-1} & \downarrow \\ \mathbb{R}^{n-1} \ni (x_1/x_i, \dots, x_{i-1}/x_i, x_{i+1}/x_i, \dots, x_n/x_i) & \mapsto & (x_1/x_j, \dots, x_{j-1}/x_j, x_{j+1}/x_j, \dots, x_n/x_j) \end{array}$$

$$G_{\mathbb{R}}^+(n,1) = S^{n-1} \longrightarrow \mathbb{R}P^{n-1} = \frac{S^{n-1}}{p \sim -p} = G_{\mathbb{R}}(n,1)$$

( $\mathbb{Z}_2$ -örtün uzayı)

$$\text{Aslında, } G_{\mathbb{R}}^+(n,k) \xrightarrow{2:1} G_{\mathbb{R}}(n,k) \quad \mathbb{Z}_2\text{-örtün uzayıdır}$$

$$\{Y^+, Y^-\} \longrightarrow Y$$

$Y^+$  ve  $Y^-$  uzayları  $Y$ 'nin üzerindeki iki farklı yönlendirmeye sahip (yönlendirilmemiş) vektör uzaylarıdır.

## Plücker Gömmesi:

$$p: G_{\mathbb{F}}(n, k) \rightarrow P(\wedge^k \mathbb{C}^n) \text{ or } P(\wedge^k \mathbb{F}^n)$$

$$V = \text{span}\{v_1, \dots, v_n\} \mapsto v_1 \wedge v_2 \wedge \dots \wedge v_k$$

Örnek:  $P(G_{\mathbb{F}}(4, 2)) \rightarrow P(\wedge^2 \mathbb{F}^4) = P(\mathbb{F}^6) = \mathbb{F}P^5$

$$\begin{bmatrix} x_{11} & x_{12} & x_{13} & x_{14} \\ x_{21} & x_{22} & x_{23} & x_{24} \end{bmatrix} \mapsto [d_{12} : d_{13} : d_{14} : d_{23} : d_{24} : d_{34}]$$

$$d_{12} = x_{11}x_{22} - x_{21}x_{12}, \quad d_{13} = x_{11}x_{23} - x_{13}x_{21}, \quad d_{14} = x_{11}x_{24} - x_{14}x_{21}$$

Bu durumda  $P(G_{\mathbb{F}}(4, 2))$   $\mathbb{F}P^5$  içinde kuadratik  $d_{12}d_{34} - d_{13}d_{24} + d_{23}d_{14} = 0$  hiperüzeri olur.

Dolayısıyla,  $G_{\mathbb{F}}(n, k)$  bir cebirsel varyetedir.

$V \in G_{\mathbb{F}}(n, k)$  elemanını farklı  $n$  taban için

$$V = \text{span}\{e_1, \dots, e_k\} \text{ or } V = \text{span}\{f_1, \dots, f_k\}$$

olarak yazarsak

$$e_1 \wedge e_2 \wedge \dots \wedge e_k = \alpha f_1 \wedge f_2 \wedge \dots \wedge f_k$$

olacak şekilde bir  $\alpha \in \mathbb{F}^*$  elemanı vardır. Dolayısıyla,  $e_1 \wedge \dots \wedge e_k$  ve  $f_1 \wedge \dots \wedge f_k$  vektörlerinin  $P(\wedge^k \mathbb{F}^n)$  içindeki görüntüleri aynı olacaktır. Başka bir deyişle Plücker gömmesi iyi tanımlıdır.

### 3) Schubert hücreleri ve sınıfları

Bundan sonra aksi söylenmedikçe  $F = \mathbb{C}$  olacaktır.  
Bayrak manifoldu (Flag manifold)

$V$   $n$ -boyutlu bir vektör uzayı olsun.  $V$  için bir bayrak  $F_* : F_1 \subset F_2 \subset \dots \subset F_n = V$ ,  
 $\dim F_i = i, i=1, \dots, n$ , şeklinde alt uzay dizisidir.

$e_i = (0, \dots, 1, \dots, 0)$ ,  $F_i = \text{span}\{e_1, \dots, e_i\}$ ,  $i=1, \dots, n$ , bayrağına standart bayrak denir.

$\mathbb{C}P^n = G_{\mathbb{C}}(n, 1)$  için hücre yapısı

$$\mathbb{C}P^n = \mathbb{C}^n \cup \mathbb{C}^{n-1} \cup \dots \cup \mathbb{C}^1 \cup \mathbb{C}^0$$

$$\mathbb{C}^n = \{[z_0 : z_1 : \dots : z_n] \mid z_0 \neq 0\} = [1 \quad * \quad * \quad \dots \quad *]$$

n parametre  
n-1 parametre

$$\mathbb{C}^{n-1} = \{[0 : z_1 : \dots : z_n] \mid z_1 \neq 0\} = [0 \quad 1 \quad * \quad * \quad \dots \quad *]$$

1 parametre

$$\mathbb{C}^1 = \{[0 : 0 : \dots : 0 : z_{n-1} : z_n] \mid z_{n-1} \neq 0\} = [0 \quad 0 \quad \dots \quad 0 \quad 1 \quad *]$$

0 parametre

$$\mathbb{C}^0 = \{[0 : \dots : 0 : z_n] \mid z_n \neq 0\} = [0 \quad 0 \quad \dots \quad 0 \quad 1]$$

$\mathbb{C}P^n$  (veya  $\mathbb{R}P^n$ ) için standart bayrağı seçelim.

$J = \{j_1 < j_2 < \dots < j_k\} \subseteq \{1, 2, \dots, n\}$  toplu endeksi  $\tau$  için  $G(F_*)$  hücreyi  $\tau$  şeklinde tanımlayalım.

$$G(F_*) = \begin{bmatrix} * & * & * & 1 & 0 & 0 & 0 & 0 & 0 & 0 & 0 \\ * & * & * & 0 & * & * & 1 & 0 & 0 & 0 & 0 \\ * & * & * & 0 & * & * & 0 & * & 1 & 0 & 0 \\ * & * & * & 0 & * & * & 0 & * & 0 & 1 & 0 \end{bmatrix}$$

Buna denk bir tanım aşağıdaki gibidir:

$$G(F_*) = \{Y \in G(n, k) \mid \dim(Y \cap F_{j_k}) = 1, k=1, \dots, k\}.$$

$$a_\ell = \mathcal{J}_\ell - \ell, \quad \dim G = \sum_{\ell=1}^k a_\ell$$

$$\lambda_\ell = n - k - a_\ell \Rightarrow \sum_{\ell=1}^k \lambda_\ell = k(n-k) - \sum_{\ell=1}^k a_\ell$$

$$\Rightarrow \sum_{\ell=1}^k \lambda_\ell = k(n-k) - \dim G$$

Örnek:  $G_{\mathbb{C}}(4,2)$

$$C_{\{1,2\}}: \begin{pmatrix} 1 & 0 & 0 & 0 \\ 0 & 1 & 0 & 0 \end{pmatrix}$$

1-boyutlu

2-boyutlu

$$C_{\{1,3\}}: \begin{pmatrix} 1 & 0 & 0 & 0 \\ 0 & \alpha & 1 & 0 \end{pmatrix}$$

$$C_{\{1,4\}}: \begin{pmatrix} 1 & 0 & 0 & 0 \\ 0 & \alpha & \alpha & 1 \end{pmatrix}$$

$$C_{\{2,3\}}: \begin{pmatrix} \alpha & 1 & 0 & 0 \\ \alpha & 0 & 1 & 0 \end{pmatrix}$$

2-boyutlu

$$C_{\{2,4\}}: \begin{pmatrix} \alpha & 1 & 0 & 0 \\ \alpha & 0 & \alpha & 1 \end{pmatrix}$$

3-boyutlu

$$C_{\{3,4\}}: \begin{pmatrix} \alpha & \alpha & 1 & 0 \\ \alpha & \alpha & 0 & 1 \end{pmatrix}$$

4-boyutlu

$$\sum_{\ell=1}^k \lambda_\ell + \sum_{\ell=1}^k a_\ell = k(n-k)$$

↑ Cohomology    ↑ Homology

Örnek  $n=11, k=4, \mathcal{J} = \{2, 4, 7, 9\}$

$$n-k=7$$

$$\lambda = \{6, 5, 3, 2\}$$

$$C_{\mathcal{J}} = \begin{bmatrix} \alpha & 1 & 0 & 0 & 0 & 0 & 0 & 0 & 0 & 0 & 0 \\ \alpha & 0 & \alpha & 1 & 0 & 0 & 0 & 0 & 0 & 0 & 0 \\ \alpha & 0 & \alpha & 0 & \alpha & \alpha & 1 & 0 & 0 & 0 & 0 \\ \alpha & 0 & \alpha & 0 & \alpha & \alpha & 0 & \alpha & 1 & 0 & 0 \end{bmatrix}$$

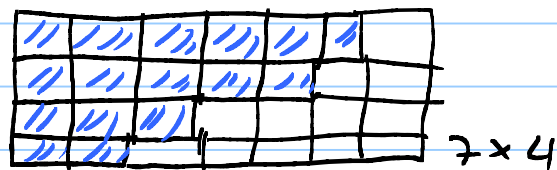
$$a_1 = 1$$

$$a_2 = 2$$

$$a_3 = 4$$

$$a_4 = 5$$

Young tablosu



7x4

$G_{\mathbb{C}}$  Schubert hücrelerinin kapamaları  $X_{\mathcal{J}}$  Schubert varyetesi denir. Yukarıdaki örnek de bu

$$X_{\mathcal{J}} = \overline{C}_{\mathcal{J}} = \begin{bmatrix} * & * & 0 & 0 & 0 & 0 & 0 & 0 & 0 & 0 & 0 \\ * & * & * & * & 0 & 0 & 0 & 0 & 0 & 0 & 0 \\ * & * & * & * & * & * & * & 0 & 0 & 0 & 0 \\ * & * & * & * & * & * & * & * & * & 0 & 0 \end{bmatrix}$$

Buna denk bir tanım ise,  $F_x$  herhangi bir bayrak olmak üzere

$$X_{\mathcal{J}}(F_x) = \{ Y \in G_{\mathbb{F}_x}(n, k) \mid \dim(Y \cap F_x) \geq 1 \}$$

olarak da verilebilir.

Cebirsel bir alt varyete, Sonlu tane minörün tanımladığı varyete olarak görülebilir!

$B_{\mathcal{J}_1, \mathcal{J}_2, \mathcal{J}_3, \mathcal{J}_4}$  ile  $11 \times 4$ 'lük  $[x_{ij}]_{11 \times 4}$  matrisinin  $\mathcal{J}_1, \mathcal{J}_2, \mathcal{J}_3$  ve  $\mathcal{J}_4$  üncü sütunlarına karşılık gelen minörün determinantını göstermek yukarıdaki  $X_{\mathcal{J}}$  sınıfı aşağıdaki denklemlerle verilir:

$$B_{\mathcal{J}_1, \mathcal{J}_2, \mathcal{J}_3, 10} = 0, \quad B_{\mathcal{J}_1, \mathcal{J}_2, \mathcal{J}_3, 11} = 0, \quad B_{\mathcal{J}_1, \mathcal{J}_2, 10, 11} = 0, \dots$$

Schubert Hücreleri açısından

$$X_{\mathcal{J}} = \cup_{a \in a} C_{\mathcal{J}}^a$$

$$\mathcal{J} = \{ \mathcal{J}_1, \mathcal{J}_2, \dots, \mathcal{J}_k \}$$

$$a = \{ \mathcal{J}_1 - 1, \mathcal{J}_2 - 2, \dots, \mathcal{J}_k - k \}$$

veya

$$X_{\mathcal{J}} = \cup_{\lambda \in \Lambda} C_{\mathcal{J}}^{\lambda}$$

$$\mathcal{J} \leftrightarrow \Lambda = \{ n - k - \mathcal{J}_1 + 1, n - k - \mathcal{J}_2 + 2, \dots, n - \mathcal{J}_k \}$$

Schubert varyeteleri altmanifold olmasa da <sup>\*</sup> bir homoloji (tabiiysiyse bir kohomoloji) sınıfı belirler. Bu sınıfa Schubert sınıfı denir. Bu kohomoloji sınıfı  $\sigma_1$  veya  $\sigma_2$  ile gösterilir.

Hatırlatma:  $GL(n, \mathbb{C})$  bağlantılı olduğun

$\mathbb{C}P^n$  bir Schubert varyetesi lineer bir dönüşüm ile öteleyerek varyetenin belirlendiği sınıf değeri verir.

Örnek  $G_{\mathbb{C}}(4, 2)$

			Bayrak
$\chi_{\{1,2\}} = \begin{pmatrix} * & 0 & 0 & 0 \\ * & * & 0 & 0 \end{pmatrix}$	$a = \{0, 0\}, \lambda = \{2, 2\}$		0
$\chi_{\{1,3\}} = \begin{pmatrix} * & 0 & 0 & 0 \\ * & * & * & 0 \end{pmatrix}$	$a = \{0, 1\}, \lambda = \{2, 1\}$		1
$\chi_{\{1,4\}} = \begin{pmatrix} * & 0 & 0 & 0 \\ * & * & * & * \end{pmatrix}$	$a = \{0, 2\}, \lambda = \{2, 0\}$		2
$\chi_{\{2,3\}} = \begin{pmatrix} * & * & 0 & 0 \\ * & * & * & 0 \end{pmatrix}$	$a = \{1, 1\}, \lambda = \{1, 1\}$		2
$\chi_{\{2,4\}} = \begin{pmatrix} * & * & 0 & 0 \\ * & * & * & * \end{pmatrix}$	$a = \{1, 2\}, \lambda = \{4, 0\}$		3
$\chi_{\{3,4\}} = \begin{pmatrix} * & * & * & 0 \\ * & * & * & * \end{pmatrix}$	$a = \{2, 2\}, \lambda = \{0\}$		4

$E_{\alpha} = \{E_1 \subseteq E_2 \subseteq E_3 \subseteq E_4\}$  standart bayrak olsun.

$\sigma_{1,0} = \sigma_1 = \{Y \in G_{\mathbb{C}}(4, 2) \mid \dim(Y \cap E_2) \geq 1\}$   
ve  $\dim(Y \cap E_4) \geq 2 \leftarrow$  otomatik!

$\sigma_{1,1} = \{Y \mid Y \subseteq E_3\}$

$\sigma_2 = \{Y \mid E_1 \subseteq Y\}$   $\sigma_{2,1} = \{Y \mid E_1 \subseteq Y \subseteq E_3\}$

\* Hironaka's Theorem of Resolution of singularities.

Hatırlatma Yukarıdaki hücre ve varyeteler her bayrak için tanımlanabilir. Bayrak değiştiğinde hücre ve varyeteler değişse de karşılık geldikleri  $(k)$  homoloji sınıfları bayraktan bağımsızdır ve sadece  $\bar{J}$  veya  $X$  ile belirlenirler.

Hatırlatma  $G_{\mathbb{F}}(n, k)$  Grassmann manifoldu için  $n$ -boyutlu uzayda  $k$ -boyutlu altuzayların kümesidir. Bu küme  $n-1$  boyutlu projektif uzayın  $k-1$  boyutlu doğrusal altuzaylarının kümesi olarak görülebilir. Bu projektif Grassmann manifoldum  $G_{\mathbb{F}}(n-1, k-1)$  ile göstereceğiz.

Bu durumda  $G_{\mathbb{F}}(4, 2) = G_{\mathbb{F}}(3, 1)$  olur. Yukarıdaki sınıflar şu şekilde görülebilir.  $F_{\star} = \{F_1 \subseteq F_2 \subseteq F_3 \subseteq F_4\}$  bayrağı  $\{p' \in l' \subset h'\}$  nokta  $\in$  doğru  $\subseteq$  düzlem bayrağına dönüştür.

$$\begin{aligned} \sigma_1 &= \{l \mid l \cap l' \neq \emptyset\} \\ \sigma_1'' &= \{l \mid l \subseteq h'\} \\ \sigma_2 &= \{l \mid p' \in l\} \\ \sigma_{2,1} &= \{l \mid p' \in l \subseteq h'\}. \end{aligned}$$

## Homology ve Kohomology

$G_{\mathbb{C}}(n, k)$ : Her bir  $X_{\lambda}$  veya  $X_{\lambda}$   $2(n-k-|\lambda|)$  - boyutlu bir hücrenin kapamıdır.

$$C_i(G_{\mathbb{C}}(n, k)) = \begin{cases} 0, & i \text{ tek sayı ise} \\ \bigoplus_{\lambda} \mathbb{Z}, & i \text{ çift sayı ise} \\ & 2[(n-k)-|\lambda|] = i \end{cases}$$

$$\rightarrow C_{i+1} \xrightarrow{\partial=0} C_i \rightarrow$$

$$\Rightarrow H_i(G_{\mathbb{C}}(n, k)) = C_i(G_{\mathbb{C}}(n, k))$$

$$\Rightarrow H_{DR}^i(G_{\mathbb{C}}(n, k)) = C_i(G_{\mathbb{C}}(n, k)) \otimes \mathbb{R}$$

Buler sayisi  $\chi(G_{\mathbb{C}}(n, k)) = \sum_{i=0}^{\infty} \# \{ \lambda \mid (n-k)-|\lambda| = i \}$

$G_{\mathbb{R}}(n, k)$ :  $C_i(G_{\mathbb{R}}(n, k)) = \bigoplus_{\lambda} \mathbb{Z}$   
 $(n-k)-|\lambda| = i$

Homology ve kohomology hesabı için sınır/yapıdırma fonksiyonlarını belirlemek gerekir.

Diğer taraftan manifoldun Euler sayisi

$$\chi(G_{\mathbb{R}}(n, k)) = \sum_{i=0}^{k(n-k)} (-1)^i \# \{ \lambda \mid i = (n-k)-|\lambda| \}$$

olur.

Örnek:  $\chi(G_{\mathbb{C}}(4, 2)) = 6 = \text{Toplam hücre sayısı}$

$$\chi(G_{\mathbb{R}}(4, 2)) = 1 - 1 + 2 - 1 + 1 = 2.$$



$$\chi(G_{\mathbb{C}}(n,1)) = \chi(\mathbb{C}P^{n-1}) = n$$

$$\chi(G_{\mathbb{R}}(n,1)) = \chi(\mathbb{R}P^{n-1}) = \begin{cases} 0, & n \text{ tek ise,} \\ 1, & n \text{ çift ise.} \end{cases}$$

Örnekle  $\mathbb{R}P^2$  için hücreler yapısı ve homolojileri

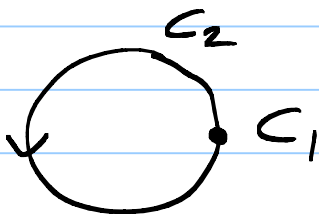
$$\mathbb{R}P^2 = G_{\mathbb{R}}(3,1)$$

$$C_1: [1 \ 0 \ 0] = \text{pt } 0\text{-hücre}$$

$$C_2: [x \ 1 \ 0] = \mathbb{R} \quad 1\text{-hücre}$$

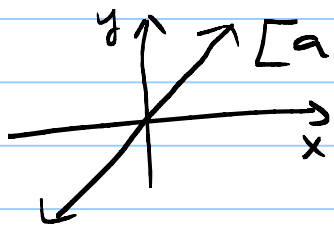
$$C_3: [x \ x \ 1] = \mathbb{R}^2 \quad 2\text{-hücre}$$

$$\chi_2 = \overline{C_2} = [x \ x \ 0], \quad \chi_2 - C_2 = [x \ 0 \ 0] = \text{pt}$$



$$C_2: [a \ 1 \ 0] = \text{span}\{a e_1 + e_2\}$$

$$\lim_{a \rightarrow \infty} \text{span}\{a e_1 + e_2\} = \text{span}\{e_1\}$$



$$[a \ 1 \ 0] \xrightarrow{a \rightarrow \infty} x\text{-ekseni}$$

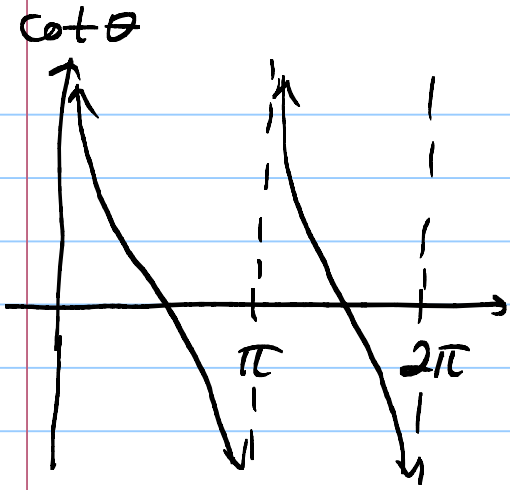
$$a \rightarrow \infty$$

$$a \rightarrow -\infty$$

$$\chi_3 = \overline{C_3} = [x \ x \ x], \quad \chi_3 - C_3 = [x \ x \ 0]$$

$$[a \ b \ 1] = [r \cos \theta \ r \sin \theta \ 1] \xrightarrow{r \rightarrow \infty} \begin{bmatrix} \cos \theta & \sin \theta & 0 \\ \cot \theta & 1 & 0 \end{bmatrix}$$

$0 \leq \theta < 2\pi$        $0 \leq r < \infty$



$\theta$  0'dan  $2\pi$ 'ye giderken  $\cot \theta$   $-\infty$ 'den  $+\infty$ 'a iki defa gider. Dolayısıyla 2-boyutlu hücrenin sınırını  $X_1 = S^1$  çemberini iki defa dolayır.

$$0 \rightarrow C_2(\mathbb{R}P^2) \rightarrow C_1(\mathbb{R}P^2) \rightarrow C_0(\mathbb{R}P^2) \rightarrow 0$$

$$\begin{array}{ccccccc} & \cong & & \cong & & \cong & \\ & \mathbb{Z} & \xrightarrow{\times 2} & \mathbb{Z} & \xrightarrow{0} & \mathbb{Z} & \end{array}$$

$$H_0(\mathbb{R}P^2) = \mathbb{Z}$$

$$H_1(\mathbb{R}P^2) = \mathbb{Z}/2\mathbb{Z} = \mathbb{Z}_2$$

$$H_2(\mathbb{R}P^2) = 0$$

Kohomoloji Halkası: Bu bölümde  $G_{\mathbb{C}}(n,k)$

Kompleks Grassmann manifoldunun kohomoloji halkasındaki çarpımdan bahsedelim.

$H^*(G_{\mathbb{C}}(n,k))$  halkasının toplamsal grup yapısının Schubert sınıflarını taban kabul eden serbest abelyen grup olduğunu görmüştük:

$H^*(G_{\mathbb{C}}(n,k)) = \bigoplus_{\lambda} \mathbb{Z} \sigma_{\lambda}$ . Bu durumda,

$\sigma_{\lambda} \in H^{|\lambda|}(G_{\mathbb{C}}(n,k))$ ,  $\sigma_{\mu} \in H^{|\mu|}(G_{\mathbb{C}}(n,k))$  olmak üzere

$\sigma_{\lambda} \cdot \sigma_{\mu} = \sum_{\nu} c_{\lambda, \mu}^{\nu} \sigma_{\nu}$  olacak şekilde tek bir şekilde yazılabilir.

$c_{\lambda, \mu}^{\nu}$  tam sayılarına Littlewood-Richardson katsayıları denir.

Örnek:  $G_{\mathbb{C}}(4,2) = G_{\mathbb{C}}(3,1)$  Grassmann'ı  $\mathbb{C}P^3$  bu katsayıları hesaplayalım.

( $\dim_{\mathbb{R}} G_{\mathbb{C}}(4,2) = 8$ )

$\sigma_1 = \{ \ell \mid \ell \cap \ell' \neq \emptyset \} \in H^2(G_{\mathbb{C}}(4,2)) \cong H_6(G_{\mathbb{C}}(4,2))$

$\sigma_{1,1} = \{ \ell \mid \ell \subseteq h' \} \in H^4(G_{\mathbb{C}}(4,2)) \cong H_4(G_{\mathbb{C}}(4,2))$

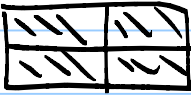

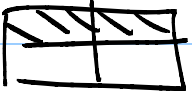
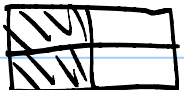
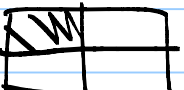
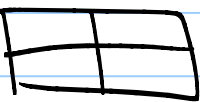
$\sigma_2 = \{ \ell \mid p' \in \ell \} \in H^4(G_{\mathbb{C}}(4,2)) \cong H_4(G_{\mathbb{C}}(4,2))$

$\sigma_{2,1} = \{ \ell \mid p' \in \ell \subseteq h' \} \in H^6(G_{\mathbb{C}}(4,2)) \cong H^2(G_{\mathbb{C}}(4,2))$

$\sigma_2 \cdot \sigma_2 = \sigma_{2,2}$  ( $p'$  ve  $p''$  gibi iki noktadan geçen tek bir doğru vardır)

$\sigma_{1,1} \cdot \sigma_{1,1} = \sigma_{2,2}$  ( $h'$  ve  $h''$  gibi iki düzlem tek bir doğru boyunca kesişir)

## Hatırlatma:

			Boyut
$\chi_{\{1,2\}} = \begin{pmatrix} * & 0 & 0 & 0 \\ * & * & 0 & 0 \end{pmatrix}$	$a = \{0,0\}$ , $\lambda = \{2,2\}$		0
$\chi_{\{1,3\}} = \begin{pmatrix} * & 0 & 0 & 0 \\ * & * & * & 0 \end{pmatrix}$	$a = \{0,1\}$ , $\lambda = \{2,1\}$		1
$\chi_{\{1,4\}} = \begin{pmatrix} * & 0 & 0 & 0 \\ * & * & * & * \end{pmatrix}$	$a = \{0,2\}$ , $\lambda = \{2,0\}$		2
$\chi_{\{2,3\}} = \begin{pmatrix} * & * & 0 & 0 \\ * & * & * & 0 \end{pmatrix}$	$a = \{1,1\}$ , $\lambda = \{1,1\}$		2
$\chi_{\{2,4\}} = \begin{pmatrix} * & * & 0 & 0 \\ * & * & * & * \end{pmatrix}$	$a = \{1,2\}$ , $\lambda = \{1,0\}$		3
$\chi_{\{3,4\}} = \begin{pmatrix} * & * & * & 0 \\ * & * & * & * \end{pmatrix}$	$a = \{2,2\}$ , $\lambda = \{0\}$		4

Diğer taraftan,

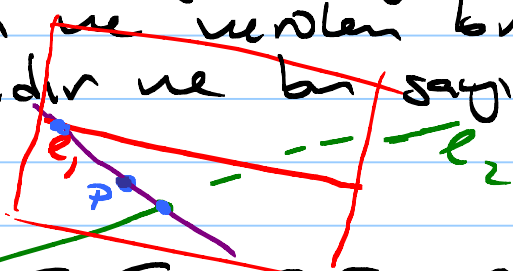
$\sigma_{1,1} \cdot \sigma_2 = 0$  ( $p' \notin h'$  olmak üzere verilen bir  $h'$  düzleminin içinde kalan ve  $p'$  noktasından geçen bir doğru yoktur.)

$\sigma_1 \cdot \sigma_1 = ?$   $\sigma_1 \cdot \sigma_1 = a \sigma_{1,1} + b \sigma_2$  şeklinde olacaktır.

$$\sigma_1 \cdot \sigma_1 \cdot \sigma_2 = (a \sigma_{1,1} + b \sigma_2) \cdot \sigma_2 = b \sigma_{2,2}$$

Diğer taraftan bu sayı kaçta verilen iki (aykırı) doğruya kesen ve verilen bir noktadan geçen doğruların sayısıdır ve bu sayı bir'dir.

$$\Rightarrow b = 1.$$



Diğer taraftan,  $\sigma_1 \cdot \sigma_1 \cdot \sigma_{1,1} = a \sigma_{2,2}$  olur ve yine  $a = 1$  dir, çünkü rastgele verilen bir

düzlem ve bir doğru bir noktada kesişir. Dolayısıyla, iki aynı doğruya kesen ve bir düzlemde kalan tek bir doğru vardır.

O halde,  $\sigma_1 \cdot \sigma_1 = \sigma_{1,1} + \sigma_2$  elde edilir.

Sonuç:  $\sigma_1^4 = (\sigma_{1,1} + \sigma_2)^2 = \overset{1}{\sigma_{1,1}^2} + \overset{1}{\sigma_2^2} + 2\overset{1}{\sigma_{1,1}\sigma_2} = 2.$

O halde,  $\mathbb{A}^3$  üzerinde  $(\mathbb{A}^1)^3$  verilen noktada dört doğruya da kesen iki doğru vardır. Bu dört doğrunun  $\mathbb{R}P^3$  içinde alınacak bunları kesen doğrularda gerçek doğrular olacaktır.

Hatırlatma:  $C_\lambda = C_{\lambda_1, \lambda_2, \dots, \lambda_k}$  Schubert sınıfının dualı

$\sigma_{n-k-\lambda_1, n-k-\lambda_2, \dots, n-k-\lambda_k} = \sigma_\lambda^*$  sınıfıdır ve

dolayısıyla  $C_{\lambda, \mu}^Y$  Littlewood-Richardson katsayısı  $\sigma_\lambda \cdot \sigma_\mu = \sum C_{\lambda, \mu}^{\nu} \sigma_\nu^*$  ile çarpımı olacaktır. (Sayfa 36'ya bakınız).

Örnek:  $Q \subseteq \mathbb{C}P^n$  içinde kuadratik bir hiperyüzey olsun. Kuadratik formların sınıflandırması sayesinde bu hiperyüzey

$$z_0^2 + z_1^2 + \dots + z_{n-1}^2 = 0 \quad (n \leq n) \text{ denklemi ile}$$

verilir. Bu yüzey içindeki doğruların utayını belirleyelim:  $U_0 = \{ [z_0 : z_1 : \dots : z_n] \mid z_0 \neq 0 \} \cong \mathbb{C}^n$  koordinat sisteminde  $Q$   $z_0^2 + \dots + z_{n-1}^2 = 1$  ile verilir.  $z_i = a_i t + b_i$ ,  $a_i, b_i \in \mathbb{C}$ ,  $Q$  içindeki bir doğrunun parametrisasyonu ise

\*  $f = \sum_{i=1}^n a_i^2$ ,  $g = \sum_{i=1}^n a_i b_i$ ,  $h = (\sum_{i=1}^n b_i^2)^{-1}$  olsun.  $\{\nabla f, \nabla g, \nabla h\}$  kümesi  $\mathbb{R}^n$ 'de bağımsızdır.  $\nabla f = (u, 0)$ ,  $\nabla g = \frac{1}{2}(v, u)$ ,  $\nabla h = (0, v)$   
 $u = (2a_1, 2a_2, 2a_3), v = (2b_1, 2b_2, 2b_3)$ ,  $\|u\|^2 = 0$ ,  $\|v\|^2 = 4$ ,  $u \cdot v = 0$ .

$$1 = \sum_{i=1}^n z_i^2 = t^2 \left( \sum_{i=1}^n a_i^2 \right) + 2t \left( \sum_{i=1}^n a_i b_i \right) + \sum_{i=1}^n b_i^2, \forall t \in \mathbb{C}$$

eşitliğin ve buradan da

$$\sum_{i=1}^n a_i^2 = 0, \sum_{i=1}^n a_i b_i = 0, \sum_{i=1}^n b_i^2 = 1 \text{ denklemlerini}$$

elde ederiz. Doğrusu,  $\mathbb{Q}$   $\mathbb{P}^n$ 'deki doğruların parametre uzayı  $2n-3$  boyutludur. Bir doğrunun parametre uzayı iki boyutlu olduğu için  $\mathbb{Q}$  kuadratik hiperüzey  $\mathbb{P}^n$ 'deki doğrunun uzayı  $2n-5$  boyutlu olacaktır.

Şimdi  $n=4$  alalım ve  $\mathbb{Q} \subseteq \mathbb{P}^4$  kuadratik hiperüzeyin  $\mathbb{P}^4$ 'teki doğruların sınıfını belirleyelim.  $\mathbb{P}^4$  içindeki doğruların uzayı  $G(4,1) = G_{\mathbb{Q}}(5,2)$  Grassmann manifoldudur.

$$\dim G_{\mathbb{Q}}(5,2) = 3 \cdot 2 = 6$$

Bir doğrunun uzayı  $2n-5 = 2 \cdot 4 - 5 = 3$  boyutludur.  $G_{\mathbb{Q}}(5,2)$   $\mathbb{P}^4$ 'teki 3-boyutlu sınıflar şunlardır:

$$C_{2,4} = \begin{bmatrix} * & 1 & 0 & 0 & 0 \\ * & 0 & * & 1 & 0 \end{bmatrix} \xrightarrow[\substack{J = \{2,4\} \\ a = \{1,2\}}]{\lambda = \{2,1\}} \sigma_{2,1} \begin{array}{|c|c|c|} \hline \text{///} & \text{///} & \\ \hline & & \\ \hline \end{array}$$

$$C_{1,5} = \begin{bmatrix} 1 & 0 & 0 & 0 & 0 \\ 0 & * & * & * & 1 \end{bmatrix} \xrightarrow[\substack{J = \{1,5\} \\ a = \{0,3\}}]{\lambda = \{3,0\}} \sigma_3 \begin{array}{|c|c|c|} \hline \text{///} & & \text{///} \\ \hline & & \\ \hline \end{array}$$

$\mathbb{Q}$   $\mathbb{P}^4$ 'teki doğruların sınıfı bu durumda

$\alpha = a\sigma_2 + b\sigma_3$ ,  $a, b \in \mathbb{Z}$ , şeklindedir.

$\sigma_3$  sınıfı  $\mathbb{C}P^4$  içinde belirli bir noktadan geçen doğruların sınıfıdır. Dolayısıyla  $\sigma_2 \cdot \sigma_3 = 1$  olmalıdır. Diğer taraftan,  $\sigma_{2,1}$  sınıfı ise  $\mathbb{C}P^4$  içindeki  $\mathbb{C}P^3$  ( $z_4=0$ ) altuzayı içinde kalan ve  $\mathbb{C}P^3$  içindeki ( $z_2=z_3=z_4=0$ ) doğrusunun kesen doğruların sınıfıdır.

İki farklı  $\mathbb{C}P^3 \subseteq \mathbb{C}P^4$  bir düzlem ( $\mathbb{C}P^2$ ) boyunca kesişeceklerdir. Bu düzlem  $\mathbb{C}P^3$  ler içindeki (yukarıdaki) doğruları birer noktada kesişeceklerdir. Dolayısıyla,  $\sigma_{2,1} \cdot \sigma_{2,1}$  çarpımı (kesişim)  $\mathbb{C}P^2$  arakesit düzleminde içindeki iki noktadan geçen doğruların kümesidir. Böyle tek bir doğru vardır ve dolayısıyla  $\sigma_{2,1} \cdot \sigma_{2,1} = 1$  olmalıdır.

Benzer şekilde,  $\sigma_3 \cdot \sigma_{2,1} = 0$  olduğu görülür.

Şimdi de aşağıdaki çarpımları hesaplayalım

$\alpha \cdot \sigma_3 = (a\sigma_{2,1} + b\sigma_3) \cdot \sigma_3 = b$  olur.  $\sigma_3$  içindeki doğruların ortak noktası olan nokta  $Q$  içinde olmadığı sürece bu arakesit boş olacaktır. Dolayısıyla,  $b=0$  dir.

Benzer şekilde  $\alpha \cdot \sigma_{2,1} = a$  olur.  $\alpha \cdot \sigma_{2,1}$  kesişim ise  $Q \cap \mathbb{C}P^3$  kuadratik yüzeyi üzerinde kalan ve  $\mathbb{C}P^3$  içindeki  $\mathbb{C}P^1$  doğrusunun kesen doğrulardır.  $\mathbb{C}P^3$  içindeki  $Q \cap \mathbb{C}P^3$  koniğinin rastgele bir noktasından geçen

(ve kontinüel değerler kalam)  
doğruların sayısı ise ikidir. Dolayısıyla  $\alpha \cdot \sigma_{2,1}$   
kesişiminde 4 doğrudan veya  $\alpha \cdot \sigma_{2,1} = a = 4 + i$ .

$$\mathbb{Q} \cap \mathbb{C} \mathbb{P}^3: x_0^2 + x_1^2 + x_2^2 + x_3^2 = 0$$

$$P = [0:0:0:1] \quad U_0 = \{x_0 \neq 0\} \text{ koordinat sisteminde}$$
$$x_1^2 + x_2^2 + x_3^2 = 1 \quad x_1 = t, x_2 = a_1 t, x_3 = a_2 t + 1$$

$$\Rightarrow (1 + a_1^2 + a_2^2)t^2 + 2a_2 t + 1 = 1$$

$$\Rightarrow a_2 = 0, a_1 = \pm i$$

$$\Rightarrow l_1: \{x_1 = t, x_2 = it, x_3 = 1\}, l_2: \{x_1 = t, x_2 = -it, x_3 = 1\}$$

İki doğru!

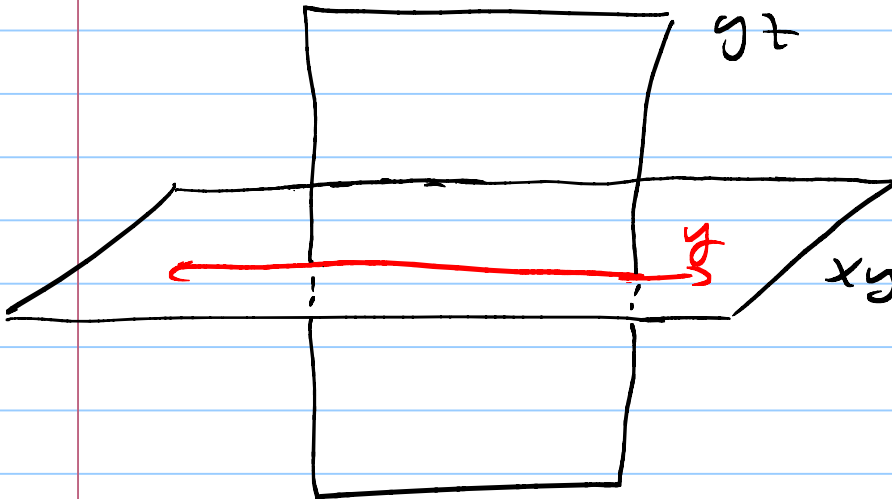
Dolayısıyla,  $\alpha = 4 \sigma_{2,1}$  ve buradan da  $\alpha^2 = 16$   
olur. Bu ise  $\mathbb{C} \mathbb{P}^4$ 'te içinde rastgele seçilen  
iki kuadratik hiperyüzeyin ana kesitinde toplam  
16 doğru olduğunu gösterir.



#### 4) Schubert Kalkülüse Giriş

Örnek:  $G_{\mathbb{R}}(3,1)$  içindeki  $X_2 = [ * * 0 ]$  Schubert varyetetesini kendisi ile nasıl kesiştiririz?

$X_2$   $xy$ - düzlemine kalan tüm doğruların (orijinden geçen!) kümesidir. Dik kesişim elde etmek için bu düzlemi, homoloji sınıfını değiştirmeden, döndürerek  $yz$ -düzlemine kaline getiririz ve sonra kesişim alırız.



Kesişimin çarpık olduğunu görün.

$B = \{ e_1, e_2, \dots, e_n \}$  herhangi bir sıralı baz ve  $F_* = \{ F_1 \subset F_2 \subset \dots \subset F_n \}$ ,  $F_i = \text{span}\{ e_1, \dots, e_i \}$  bu bazın belirlediği bayrak olsun.

$\tilde{B} = \{ e_n, e_{n-1}, \dots, e_1 \}$  sıralı baz,  $B$ 'nin tersi olarak adlandırılır ve benzer şekilde  $\tilde{F}_* = \{ \tilde{F}_1 \subset \tilde{F}_2 \subset \dots \subset \tilde{F}_n \}$ ,

$\tilde{F}_i = \text{span}\{ e_n, e_{n-1}, \dots, e_{n-i+1} \}$  bayrağına

da  $\tilde{F}_*$ 'in tersi denir.

Örneği  $n=7, k=3, J = \{j_1, j_2, j_3\} = \{2, 4, 5\}$

$$C_{2,4,5}(F_*) = \{V \in G_{\mathbb{F}_2}(7,3) \mid \dim V \cap F_{j_i} = 1\}$$

$$= \begin{bmatrix} * & 1 & 0 & 0 & 0 & 0 & 0 \\ * & 0 & * & 1 & 0 & 0 & 0 \\ * & 0 & * & 0 & 1 & 0 & 0 \end{bmatrix}$$

$$X_{2,4,5}(F_*) = \{V \in G_{\mathbb{F}_2}(7,3) \mid \dim V \cap F_{j_i} \geq 2\}$$

$$= \begin{bmatrix} * & * & 0 & 0 & 0 & 0 & 0 \\ * & * & * & * & 0 & 0 & 0 \\ * & * & * & * & * & 0 & 0 \end{bmatrix}$$

Diğer taraftan

$$C_{2,4,5}(\tilde{F}_*) = \begin{bmatrix} 0 & 0 & 1 & 0 & * & 0 & * \\ 0 & 0 & 0 & 1 & * & 0 & * \\ 0 & 0 & 0 & 0 & 0 & 1 & * \end{bmatrix}$$

$$\text{ve } X_{2,4,5}(\tilde{F}_*) = \begin{bmatrix} 0 & 0 & * & * & * & * & * \\ 0 & 0 & 0 & * & * & * & * \\ 0 & 0 & 0 & 0 & 0 & * & * \end{bmatrix}.$$

$X_{2,5,5}(\tilde{F})$  ve  $X_{2,4,5}(\tilde{F}_*)$  varyeteleri

homotopik olduğun Dah belirledikler) sınıflar aynıdır. Bu sınıfların Young tabloları da birbirinden  $180^\circ$  döndürülerek elde edilir.

$$J = (2, 4, 5) \rightarrow a = (1, 2, 2) \rightarrow \lambda = (3, 2, 2)$$

$$\sigma_\lambda(F_*) =$$

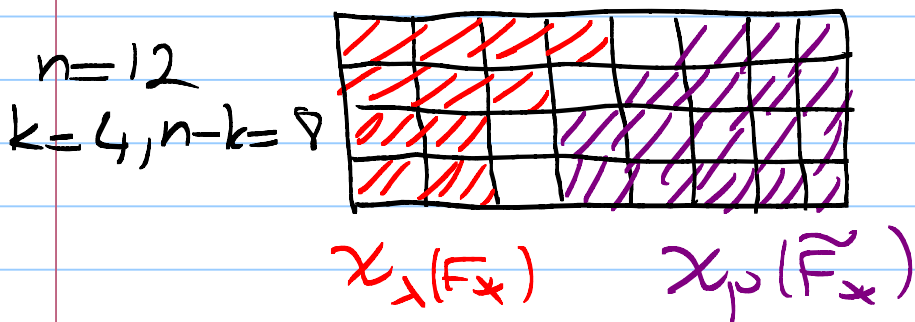

$$\sigma_\lambda(\tilde{F}_*) =$$


$$\sigma_7 \in H^1(\mathbb{C}(7,3)), \dim_{\mathbb{R}} \mathcal{S}_{\sigma}(7,3) = 2 \cdot (3 \cdot 4) = 24$$

Önerme: Eğer  $\chi_{\lambda}(F_{*}) \cap \chi_{\mu}(\tilde{F}_{*}) \neq \emptyset$  ise

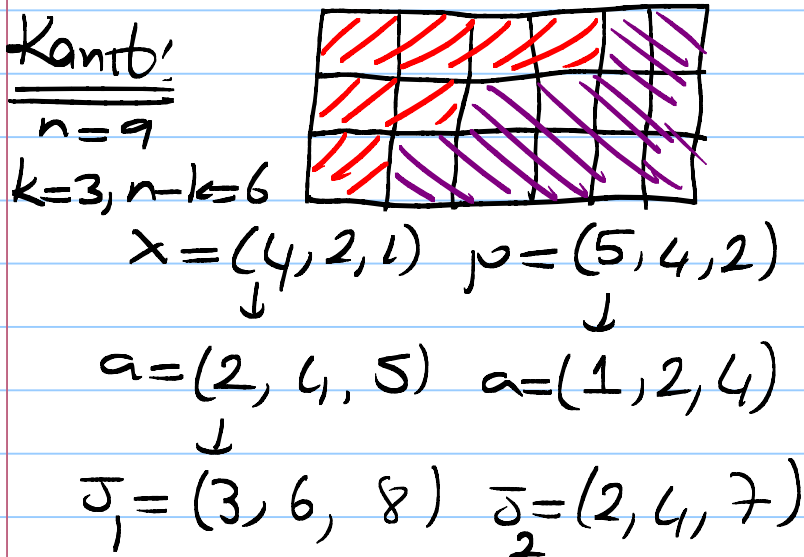
her  $1 \leq i \leq n-k$  için,  $\lambda_i + \mu_{k+1-i} \leq n$  olur.

Başka iki sınıfın kesişiminin boş olmaması için  $\chi_{\lambda}(F_{*})$  ve  $\chi_{\mu}(\tilde{F}_{*})$  varyetelerinin Young tabloları aynı  $\mu$  olmalıdır.



$$\lambda = (4, 3, 2, 2) \quad \mu = (5, 5, 4, 3)$$

Önerme: Eğer  $\chi_{\lambda}(F_{*})$  ve  $\chi_{\mu}(\tilde{F}_{*})$  aynı  $\mu$  ve Young tabloları arasında hiç boşluk yoksa  $\sigma_{\lambda} \cdot \sigma_{\mu} = 1$  olur.



$$C_{\sigma_1}(F_*) = \begin{bmatrix} * & * & 1 & 0 & 0 & 0 & 0 & 0 & 0 \\ * & * & 0 & * & * & 1 & 0 & 0 & 0 \\ * & * & 0 & * & * & 0 & * & 1 & 0 \end{bmatrix}$$

$$C_{\sigma_2}(F_*) = \begin{bmatrix} * & 1 & 0 & 0 & 0 & 0 & 0 & 0 & 0 \\ * & 0 & * & 1 & 0 & 0 & 0 & 0 & 0 \\ * & 0 & * & 0 & * & * & 1 & 0 & 0 \end{bmatrix}$$

$$C_{\sigma_2}(\tilde{F}_*) = \begin{bmatrix} 0 & 0 & 1 & * & * & 0 & * & 0 & * \\ 0 & 0 & 0 & 0 & 0 & 1 & * & 0 & * \\ 0 & 0 & 0 & 0 & 0 & 0 & 0 & 1 & * \end{bmatrix}$$

$C_{\sigma_1}(F_*) \cap$

$C_{\sigma_2}(\tilde{F}_*)$

(Kesişimde tüm \*'lar 0 olsun!)

$C_{\sigma_1}(F_*)$  ve  $C_{\sigma_2}(\tilde{F}_*)$  çarpıt şekilde ve tek noktada ( $V = \text{span}\{e_3, e_6, e_8\}$ ) kesişirler. Aslında  $V$  noktası

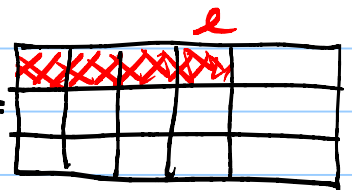
$$C_{\sigma_1}(F_*) \cong \mathbb{C}^{11} \subseteq \mathbb{C}^{18} \quad \text{ve} \quad C_{\sigma_2}(\tilde{F}_*) = \mathbb{C}^7 \subseteq \mathbb{C}^{18}$$

altuzaylarının her ikisinde de orijine tangente gelen ve dolayısıyla çarpıt kesişirler.

Bu şekilde kesişen iki sınıfa birbirinin dualı denir,  $\sigma_x$  sınıfının dualı  $\sigma_{x^*}$  ile gösterilir.

İki sınıfın çarpımına geçmeden önce özel bir hali ele alalım.

$l \in \{1, 2, n-k\}$  olmak üzere  $\sigma_l =$  sınıfa özel Schubert sınıfı ismini verecektir.

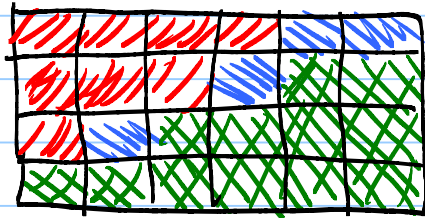


Pieri Formülü olarak bilinen sonuç herhangi bir sınıfın özel bir sınıf ile çarpımı ifade eder:

## Teoremler (Pieri Formülü)

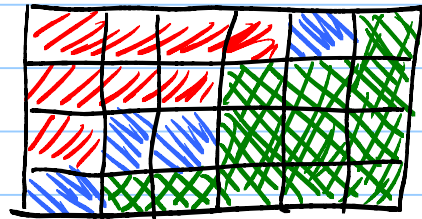
$\sigma_\lambda \in H^{|\lambda|}(G_q(n, k))$  herhangi bir Schur sınıfı,  
ve  $\sigma_\mu \in H^k(G_q(n, k))$   $\bar{e}$  adlı bir Schur sınıfı  
olmak üzere

$\sigma_\lambda \cdot \sigma_\mu = \sum \sigma_{\lambda'}$ , öyle ki  $\lambda' \vdash \lambda + \mu$   
herhangi bir  $\lambda'$  alt alta olunan  $\bar{e}$ lere  $l$   
tane kutu eklenerek elde edilmektedir.



$\lambda, \mu, l=4$

veya



$\lambda, \mu, l=4$

.....

Hatırlatma: Gerçek Grassmannların  $2k$ -Lafeli  
kohomolojisi için Young tabloları  
ile hesaplama yapma yöntemleri üzerine  
yapılmış 2013 tarihli bir çalışma (2)  
numaralı referansta verilmektedir.

(2) Casbin, L, Kodama, Y., On the cohomology of  
Real Grassmannian manifolds, arXiv:1309.5520v1.

## Pieri Formülünün Kanıtı (s. 145-152, Fulton)

$F_x \subset \mathbb{C}^n$  için bir boyut ve  $\tilde{F}_x$  bunun dersi olsun.  $\chi_\lambda(F_x)$  ve  $\chi_\mu(\tilde{F}_x)$  iki Schubert varyetesi olsun.

$$\lambda = \{\lambda_i\}, \quad \mu = \{\mu_i\}$$

$$n-k \geq \lambda_1 \geq \lambda_2 \geq \dots \geq \lambda_k \geq 0$$

$$n-k \geq \mu_1 \geq \mu_2 \geq \dots \geq \mu_k \geq 0$$

$$A_i = F_{n-k+i-\lambda_i}, \quad B_i = \tilde{F}_{n-k+i-\mu_i}, \quad C_i = A_i \cap B_{k+1-i}$$

Önerme 1:  $C_i = \text{span} \{e_j \mid i + \mu_{k+1-i} \leq j \leq n-k+i-\lambda_i\}$

Dolayısıyla,  $C_i = \begin{cases} F_{n-k+i-\lambda_i-\mu_{k+1-i}} & \text{eğer } \geq 0 \text{ ise} \\ 0 & \text{eğer } < 0 \text{ ise.} \end{cases}$

Kanıt:  $A_i = F_{n-k+i-\lambda_i} = \langle e_1, e_2, \dots, e_{n-k+i-\lambda_i} \rangle$

$$B_{k+1-i} = \tilde{F}_{n-k+k+1-i-\mu_{k+1-i}} = \tilde{F}_{n+1-i-\mu_{k+1-i}} \\ = \langle e_{i+\mu_{k+1-i}}, \dots, e_{n-1}, e_n \rangle$$

$$C_i = \langle e_j \mid i + \mu_{k+1-i} \leq j \leq n-k+i-\lambda_i \rangle$$

Önerme 2  $\chi_\lambda(F_x) \cap \chi_\mu(\tilde{F}_x) \neq \emptyset$  olması için gerek

ve yeter şart, her  $1 \leq i \leq k$  için

$$\lambda_i + \mu_{k+1-i} \leq n-k \text{ olmasıdır.}$$

Kanıt:  $V \in \mathcal{X}_\lambda(\mathbb{F}_*) \cap \mathcal{X}_\mu(\mathbb{F}_*)$  olsun. O halde, her  $1 \leq i \leq k$  için, varyetelerin tanımından dolayı

$$\dim(V \cap A_i) \geq i \quad \text{ve} \quad \dim(V \cap B_{k+1-i}) \geq k+1-i$$

olmalıdır. Diğer taraftan,  $\dim V = k$  ve  $i + (k+1-i) = k+1$  olduğun için  $(V \cap A_i) \cap (V \cap B_{k+1-i})$  en az bir boyutludur. Dolayısıyla,  $\dim(A_i \cap B_{k+1-i}) \geq 1$  olmalıdır. Son olarak bir önceki önermeden

$$1 \leq \dim(A_i \cap B_{k+1-i}) = \dim(C_i) = n - k + 1 - i - p_{k+1-i}$$

$$\Rightarrow \lambda_i + p_{k+1-i} \leq n - k \quad \text{elde edilir.}$$

Böylece önermenin " $\Rightarrow$ " yönü kanıtlanmış oldu.

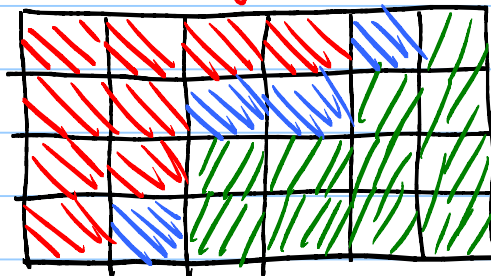
Yukarıdaki adımlar tersine çevrilebilir ve dolayısıyla önermenin diğer yönü de kanıtlanmış olur.

Birini formülünü kanıtlamak için formülün her iki tarafını,  $|p| = k/h - |\lambda| - l$  koşulunu sağlayan tüm  $\mathcal{X}_\mu(\mathbb{F}_*)$  varyeteleri ile kesiştirilerek aynı koşulu sağlayan sayılarını elde ettiğimizi göstereceğiz (Poincaré izomorfizması kesir formünün soyutlaşmamış olduğunun söyleni)

Önek:  $n=10$   
 $k=4$

$\lambda = (4, 2, 2, 1)$

$\mu = (4, 4, 2, 1)$



$$l=4$$

$$n-k=6$$

Örnek 1:  $\lambda$  ve  $\mu$  endekslerinin yukarıdaki gibi olması için gerek ve yeter şart

$$(*) \quad n-k-\lambda_k \geq \mu_1 \geq n-k-\lambda_{k-1} \geq \mu_2 \geq \dots \geq n-k-\lambda_1 \geq \mu_k \geq 0$$

olmasıdır.

Örnek 2:  $1 \leq l \leq n-k$  olmak üzere  $\mathfrak{S}_L$

sınıfının standart boyutları variyetesi aşağıdaki gibidir.

$$\lambda = (l, 0, 0, \dots, 0), \quad \alpha = (n-k-l, n-k, n-k, \dots, n-k)$$

$$X_{\mathfrak{S}}(F_{\alpha}) = \begin{bmatrix} * & * & \dots & * & * & 0 & 0 & \dots & 0 & 0 & 0 & \dots & 0 \\ * & * & & * & 0 & * & * & \dots & * & * & 0 & \dots & 0 \\ \vdots & \vdots & & \vdots & \vdots & \vdots & \vdots & & \vdots & * & \vdots & & \vdots \\ * & * & & * & 0 & * & * & \dots & * & 0 & 0 & \dots & 0 \end{bmatrix}$$

0 halinde,

$$L = \langle e_1, e_2, \dots, e_{n-k-l+1} \rangle \quad (\dim L = n-k-l+1)$$

olmak üzere  $X_{\mathfrak{S}}(F_{\alpha})$  variyetesi şu şekilde ifade edilebilir.

$$X_{\mathfrak{S}}(F_{\alpha}) = \{ V \in \mathfrak{S}_{\mathbb{F}}(n, k) \mid \dim(V \cap L) \geq 1 \} = X_e(L)$$

Bu variyeteyi  $X_e(L)$  ile göstermek daha uygun olacaktır. Ayrıca, bir standart  $L$  vektör uzayını  $V$  içindeki herhangi bir  $n-k-l+1$  boyutlu bir  $L'$  alt uzayı almak karşılık gelen kohomoloji sınıfı değişmez



yaektir (çünkü bu iki varyete homotopiktir):

$$[\chi_\alpha(L)] = [\chi_\alpha(L')] \in H^l(\mathbb{C}P^{n+k}).$$

Diğer formülünü kanıtlamak için iki şey göstermeliyiz.

A) Gözlem 1'deki (\*) eşitliğini sağlayın  $\lambda, \mu$  ve  $l = (l+1) \mu + l = (n-k)k$  için

$$\chi_\lambda(F_\alpha) \cap \chi_\mu(\tilde{F}_\alpha) \cap \chi_l(L) \text{ arakesitli tek bir}$$

vektör uzayıdır.

B) Aksi halde, aynı arakesit boş kümedir.

Örnek 3:  $A_0 = a, B_0 = 0, A_i, B_i \subset \mathbb{C}P^i, i=1, \dots, k$ , yukarıdaki gibi ve  $C = C_1 + C_2 + \dots + C_k \subseteq \mathbb{C}P^n$  olsun. Bu durumda aşağıdaki ifadeler doğrudur.

$$a) C = \bigcap_{i=0}^k (A_i + B_{k-i})$$

$$b) \sum_{i=1}^k \dim(C_i) = k+l$$

c)  $C = C_1 + \dots + C_k$  toplamının direkt toplam olması için gerek ve yeter şart (\*) eşitliğinin sağlanmasıdır.

Kanıt: a)  $C_i = A_i \cap B_{k-i}$ ,  $i=1, 2, \dots, k$  olduğunu biliyoruz.

Ölk önce  $(A_0 + B_k) \cap (A_1 + B_{k-1}) = B_k \cap (A_1 + B_{k-1})$  vektör uzayının  $C_1 + B_{k-1}$  olduğunu kolayca görürüz.

Benzer şekilde

$(A_0 + B_k) \cap (A_1 + B_{k-1}) \cap (A_2 + B_{k-2}) = (C_1 + B_{k-1}) \cap (A_2 + B_{k-2})$  uzayının  $C_1 + C_2 + B_{k-2}$  olduğunu görürüz.

Bu şekilde devam edersek

$$\begin{aligned} \bigcap_{i=0}^k (A_i + B_{k-i}) &= C_1 + C_2 + \dots + C_k + B_0 \\ &= C_1 + C_2 + \dots + C_k \\ &= C \end{aligned}$$

olduğunu görürüz.

$$\begin{aligned} \text{b) } \sum_{i=1}^k \dim C_i &= \sum_{i=1}^k (n+k-1) - \lambda_i - \rho_{k+1-i} \\ &= k(n+k-1) - |\lambda| - |\rho| \\ &= [k(n+k) - |\lambda| - |\rho|] + k \\ &= l + k. \end{aligned}$$

c) Ölk önce

$$(*) \quad n-k-\lambda_k \geq \rho_1 \geq n-k-\lambda_{k-1} \geq \rho_2 \geq \dots$$

$$\geq n-k-\lambda_1 \geq \rho_k \geq 0$$

koşulunun sağlandığını kabul edelim.

O halde,  $\rho_{k-i} \geq n-k-\lambda_i$  ve buradan da

$$\underline{\rho_{k-i} + i + 1} \geq \underline{i + (n-k) + 1 - \lambda_i} > \underline{n-k-\lambda_i + i} \text{ elde ederiz.}$$

Diğer taraftan,

$$C_i = \langle e_j \mid \tau + \nu_{k+1-i} \leq j \leq \underline{\underline{n-k+i-\lambda_i}} \rangle$$

olduğu için

$$C_{i+1} = \langle e_j \mid \underline{\underline{\tau+1}} + \nu_{k-i} \leq j \leq n-k+i+1-\lambda_{i+1} \rangle$$

olur. Dolayısıyla,  $C_i \cap C_{i+1} = \emptyset$  olur.

$C_i \cap C_{i+r} = \emptyset$ ,  $r \geq 1$  olduğun açıktır.

O halde,  $C = C_1 \oplus C_2 \oplus \dots \oplus C_k$  direkt toplamıdır.

Bu adımları ters sırada gidebileceği mi açıktır. Böylece kanıt tamamlanır. ■

Önerme 4: a) Eğer bir  $V \in \mathcal{G}_G(n, k)$  elemanı

$\chi_\lambda(F_*) \cap \chi_\mu(\tilde{F}_*)$  ana kısmi  $\tau$  içinde ise

$V \subseteq C$  olmalıdır.

b) Ayrıca,  $C_1, \dots, C_k$  alt modülleri ayrık ise (eğer bir deyişle  $C = C_1 \oplus C_2 \oplus \dots \oplus C_k$ ) ise her  $i = 1, \dots, k$ ,  $\tau \in \tau$  için  $\dim(V \cap C_i) = 1$ , ve  $V = \bigoplus_{i=1}^k (V \cap C_i)$  olur.

Kanıt: Önerme 3'ün (a) şikkinden dolayı, her  $\tau \in \tau$  için  $V \subseteq A_i + B_{k-i}$  olduğunu göstermek mümkündür. Eğer  $A_i \cap B_{k-i} \neq \emptyset$  ise  $C = A_i + B_{k-i}$

olacağından  $V \subseteq A_i + B_{k-i}$  olacaktır. Dolayısıyla,  $A_i \cap B_{k-i} = \emptyset$  olduğunu kabul edebiliriz. Diğer taraftan,  $V \subseteq G(n, k)$  olduğundan

$\rightarrow \dim(V \cap A_i) \geq i$  ve  $\dim(V \cap B_{k-i}) \geq k-i$  olur.

Ayrıca,  $\dim V = k$  olduğuna göre

$V = (V \cap A_i) \oplus (V \cap B_{k-i})$  olmalıdır ve dolayısıyla  $V \subseteq A_i + B_{k-i}$  elde edilir.

$\dim(V \cap A_i) \geq i$  ve  $\dim(V \cap B_{k-i+1}) \geq k-i+1$  olduğundan  $\dim(V \cap C_i) \geq i + (k-i+1) - \dim V = 1$  olur. Diğer taraftan  $C_1, C_2, \dots, C_k$  ayrık alt uzaylar oldukları için

$V = \bigoplus_{i=1}^k (V \cap C_i)$  ve dolayısıyla her  $i$  için  $\dim(V \cap C_i) = 1$  olur.

Şimdi Rierî formülünün kanıtını tamamlayabiliriz. Bunun için Önerme 3'ün öncesinde verdiğimiz (A) ve (B) iddialarını kanıtlayacağız.

(B)'nin kanıtı: Bu durumda Önerme 3'den dolayı  $C$  alt uzayı  $C_i$ 'lerin direkt toplamı değildir ve bu yüzden  $\dim C \leq k+l-1$  olmalıdır. O halde, boyutu  $n-k-l+1$  olan rastgele bir  $L$  alt uzayı  $C$  ile sadece  $0$ 'da kesişecektir. Dolayısıyla  $X_\lambda(F_n) \cap X_\mu(F_n)$  arkaarında kalan hiç bir

$V$  alt uzayı  $X_e(L)$  içinde kalıyordur.  
 Başka bir deyişle,  $X_\lambda(F_*) \cap X_\mu(\tilde{F}_*) \cap X_e(L) = \emptyset$   
 olur. Böylece, (B)'nin kanıtı biter.

(A)'nin kanıtı: Bu durumda yine Önerme 3'den  
 dolayı  $C = \bigoplus_{i=1}^k C_i$  ve  $\dim C = k+2$   
 olur.  $\dim L = n-k-1$  olduğu için,  $L$  yeterince  
 rastgele ise,  $L \cap C$  en azından bir boyutlu  
 olur:

$$L \cap C = \mathbb{F} \cdot v, \quad v = u_1 + u_2 + \dots + u_k, \quad \text{öyle ki}$$

$u_i \in C_i, u_i \neq 0$ .  $X_e(L)$  vektör uzayının  
 tanımından dolayı her  $v \in G_{\mathbb{F}}(n, k)$  için  
 $\dim_{\mathbb{F}}(v \cap L) \geq 1$  olur.

0 halde,  $v \in X_\lambda(F_*) \cap X_\mu(\tilde{F}_*)$  ise  
 $v \in C$  olduğundan (Önerme 4-a) yukarıda  
 ki  $v$  vektörünü  $V$  uzayının içinde  
 kalmalıdır,  $v \in V$ . Ayrıca,  $v = \sum_{i=1}^k (v \cap C_i)$   
 olduğundan  $u_i \in V$  olur.

0 halde,  $\{u_1, u_2, \dots, u_k\}$  kümesi  $V$  için bir  
 taban oluşturur.

Başka bir deyişle,  $X_\lambda(F_*) \cap X_\mu(\tilde{F}_*) \cap X_e(L)$   
 ara kesiti tek bir noktadan,  $\text{span}\{u_1, \dots, u_k\}$ ,  
 oluşur.

Son olarak, daha önce yaptığımız gibi  
 (Pieri formülünün verildiği teoremden önceki  
 kanıtın son kısmına bakınız) bu üç  
 vektörün kesişiminin çapraz olduğunu  
 gösterebiliriz.

Böylece Pieri formülünün kanıtı tamamlanır.

Giambelli Formülü olarak bilinen aşağıdaki sonuç verilen bir Schubert sınıfının özel Schubert sınıfları cinsinden ifade sindir. Dolayısıyla, Pieri formülü bu sonuçla beraber herhangi iki Schubert sınıfının çarpımının hesaplanabilmesi için bir yöntem verir. Diğer taraftan, bu metodu pratikte uygulamak pek kolay olmayabilir.

### Teorem (Giambelli Formülü)

Verilen bir  $\sigma_\lambda \in H^{2|\lambda|}(\mathbb{C}P^{n-1})$  sınıfı için

$$\sigma_\lambda = \det(\sigma_{\lambda_i + j - i})_{1 \leq i, j \leq k} \text{ eşitliği doğrudur.}$$

$\lambda = (\lambda_1, \lambda_2, \dots, \lambda_k)$  olmak üzere

$$\sigma_\lambda = \begin{vmatrix} \sigma_{\lambda_1} & \sigma_{\lambda_1+1} & \sigma_{\lambda_1+2} & \dots & \sigma_{\lambda_1+k-1} \\ \sigma_{\lambda_2-1} & \sigma_{\lambda_2} & \sigma_{\lambda_2+1} & \dots & \sigma_{\lambda_2+k-2} \\ \vdots & \vdots & \vdots & \ddots & \vdots \\ \sigma_{\lambda_{k-k+1}} & \sigma_{\lambda_{k-k+2}} & \sigma_{\lambda_{k-k+3}} & \dots & \sigma_{\lambda_k} \end{vmatrix}$$

Burada  $\sigma_{\lambda_i + j - i}$  endeksi  $\lambda_i + j - i$  olan özel Schubert sınıfını göstermektedir.

Bu formülün kanıtı Schur polinomlarının determinant formülü olarak bilinen bir sonuçtan Grassmann'ın kölemlerine uygulanması ile verilir. Bize bu notlarda bu konulara değinmeyeceğiz.

Astınlatma: Schubert sınıflarını hesaplamak daha pratik yolları mevcuttur. Örneğin P. Goşkan'ın notları bunlardan birini sunmaktadır.

Son olarak Grassmann manifoldunun vektör demetleri için sınıflandırma teoremi olduğunu belirtelim;  $F = \mathbb{R}$  veya  $\mathbb{C}$  cismini gösterelim.  $G_F(n, k)$  Grassmann uzayı üzerinde doğal bir rankı  $k$  olan vektör demeti vardır:

$$\begin{array}{ccc} \mathbb{F}^k & \rightarrow & \mathcal{S} = \{ (x, V) \in \mathbb{F}^n \times G_{\mathbb{F}}(n, k) \mid x \in V \} \\ \pi \downarrow & & \pi(x, V) = V \\ & & G_{\mathbb{F}}(n, k) \end{array}$$

Teorem:  $X$  (eli yüzü düzgün) bir topolojik uzay ve  $E \rightarrow X$ ,  $X$  üzerinde rankı  $k$  olan bir  $\mathbb{F}$ -vektör demeti olsun. Bu durumda öyle bir  $n \in \mathbb{Z}^+$  ve  $f: X \rightarrow G_{\mathbb{F}}(n, k)$  sürekli fonksiyonu vardır ki

$$f^*(\mathcal{S}) \rightarrow X$$

geri çekme vektör demeti  $E \rightarrow X$  demetine izomorftür. Ayrıca, bu koşulu sağlayan iki ayrı  $f, g: X \rightarrow G_{\mathbb{F}}(n, k)$  fonksiyonu homotopiktir.

Ayrıca,  $G_{\mathbb{C}}(n, k)$  manifoldunun kohomolojî sınıfları  $\mathcal{S} \rightarrow X$  demetinin Chern sınıfları ve  $G_{\mathbb{R}}(n, k)$  manifoldunun  $\mathbb{Z}_2$ -değerli

kohomoloji sınıfları Stiefel-Whitney sınıfları tarafından üretilir. Son olarak  $\Delta^{1/2}$ 'ye içeren bir "integral domain" ise (örneğin,  $\mathbb{Z}[\frac{1}{2}]$ ,  $\mathbb{Q}$  veya  $\mathbb{R}$ )  $S_{\mathbb{R}}^+(n, k)$  Graumann manifoldunun  $\mathbb{Z}$  değerli kohomoloji sınıfları, bu doğal demetler Euler ve Pontryagin sınıfları tarafından üretilir.

$S_{\mathbb{R}}^+(n, k)$  yönlendirilmiş Graumann manifoldunun  $\mathbb{Z}$ -değerli kohomolojisi üzerine sonuçlardan bir sonraki bölümde bahsedeceğiz.



5) Grassmannian üzerinde geometrik yapılar ve (ko)homolojilerin doğal üreteçleri. Bu bölümde Shi-Zhou'nun makalesindeki sonuçların bir kısmını sunmaya çalışacağım.

A) Gauss-Bonnet Teoremi'nin bir genelleme:

Gauss-Bonnet Theorem'i şu şekilde ifade edilebilir:

Eğer  $f: \Sigma_g \rightarrow \mathbb{R}^n$  bir daldırma fonksiyonu ve  $g: \Sigma_g \rightarrow G(n, 2)$  Gauss gönderimi olsun. Bu durumda,

$$f_*([\Sigma_g]) \in H_2(G_{\mathbb{R}}^+(n, 2), \mathbb{Z}) \text{ içinde}$$

$$f_*([\Sigma_g]) = (1-g)[S^2] = (1-g)[G_{\mathbb{R}}^+(3, 2)],$$

burada  $G_{\mathbb{R}}^+(3, 2) \hookrightarrow G_{\mathbb{R}}^+(n, 2)$  doğal içermeye fonksiyonu yardımıyla bir alt manifold olarak görülür.

Shi-Zhou §9, s. 521 M tiki z görleddirilmis 4 boyutlu g manifoldu verilece. Ayrıca,  $f: M \rightarrow \mathbb{R}^8$  daldırma fonksiyonu ve  $g: M \rightarrow G_{\mathbb{R}}^+(8, 4)$   $f$ 'in Gauss gönderimi olsun. Bu durumda

$$g_*([M]) = \frac{1}{2} \chi(M) [G_{\mathbb{R}}^+(5, 4)] + \chi([G_{\mathbb{R}}^+(5, 1)]) + \frac{3}{2} \tau(M) [G_{\mathbb{R}}^+(4, 2)].$$

Eğer  $f: M \rightarrow \mathbb{R}^6$  veya  $f: M \rightarrow \mathbb{R}^7$  daldırma fonksiyonu olursa

$$g_X(M) = \frac{1}{2} \chi(M) [G_{\mathbb{R}}^+(5,4)] + \frac{3}{2} \tau(M) [G_{\mathbb{R}}^+(4,2)].$$

Hatırlatma: Eğer  $\lambda \neq 0$  ise  $f: M \rightarrow \mathbb{R}^8$

daldırma  $\mathbb{R}^7$ 'ye indirgenemez! Dolayısıyla, bu formüller daldırma fonksiyonları için diğer koşul belgeler.

Herhangi bir  $\mathbb{R}^n$ 'e daldırılmış veya genişletilmiş bir manifold üzerine konan çeşitli geometrik yapılar Grassmannların özdeş bazı homoloji sınıflarını manifoldun cebirsel topolojisiyle ilişkilendirir ve bu daldırma ve gömme fonksiyonları üzerine fazladan koşullar koyar.

B) Grassmannların hacimlenmesi

$M(n, \mathbb{R}) \cong \mathbb{R}^{n^2}$  üzerine standart  $\mathbb{R}$  çarpımı koyalım:

$$A, B \in M(n, \mathbb{R}), (A, B) = \text{tr}(A^t B)$$

Bu  $\mathbb{R}$  çarpım  $GL(n, \mathbb{R})$  ve dolayısıyla tüm alt manifoldlar üzerine bir Riemann metriği koyar. Bu metriğe göre

$$V(S^{2n-1}) = \frac{2\pi^n}{(n-1)!}, \quad V(S^{2n}) = \frac{2^{2n+1} n! \pi^n}{(2n)!}$$

ve  $V(SO(n)) = 2^{\frac{1}{2}(n-1)} V(S^{n-1}) V(SO(n-1))$  olur.

Ayrıca,

$$\begin{aligned} V(G_{\mathbb{R}}^+(k, n)) &= \frac{V(SO(n))}{2^{\frac{1}{2}k(n-k)} V(SO(k)) V(SO(n-k))} \\ &= \frac{V(S^{n-1}) \cdots V(S^{n-k})}{V(S^{k-1}) \cdots V(S^1)} \end{aligned}$$

$$\text{Örneğin, } V(G_{\mathbb{R}}^+(n+2, 2)) = \frac{2(2\pi)^n}{n!}$$

$$V(G_{\mathbb{R}}^+(6, 3)) = \frac{2}{3} \pi^5, \quad V(G_{\mathbb{R}}^+(7, 3)) = \frac{16}{45} \pi^6$$

$$V(G_{\mathbb{R}}^+(8, 3)) = \frac{2}{45} \pi^8, \quad V(G_{\mathbb{R}}^+(8, 4)) = \frac{8}{135} \pi^8$$

Bu makalede ayrıca genelendirilmiş Grassmann manifoldlarının (ko)homolojisi üzerine yeni sonuçlar da bulunabilmektedir.

$$\text{Örneğin, } \mathbb{C}\mathbb{P}^2 = G_{\mathbb{C}}(3, 1) \subseteq G_{\mathbb{R}}^+(8, 4),$$

$$*\mathbb{C}\mathbb{P}^2 = G_{\mathbb{C}}(3, 2) \subseteq G_{\mathbb{R}}^+(8, 4) \text{ ve } G_{\mathbb{R}}^+(4, 2) \subseteq G_{\mathbb{R}}^+(8, 4)$$

4-boyutlu alt manifoldları  $H_4(G_{\mathbb{R}}^+(8, 4), \mathbb{Z})$  grubunun üretileridir.

Aynı grubun bir başka üreteç listesi  $[G_{\mathbb{R}}^+(7, 4)]$ ,  $[G_{\mathbb{R}}^+(7, 3)]$ ,  $[CAY] + [G_{\mathbb{R}}^+(7, 4)] - [G_{\mathbb{R}}^+(7, 3)]$  dir.

